

## ПРИГЛАШЕННАЯ СТАТЬЯ

# Влияние анизотропии упругости на термонаведённые искажения лазерного пучка в монокристаллах кубической сингонии с радиальным теплоотводом. Ч. 1

А.Г.Вяткин, Е.А.Хазанов

*Исследованы термонаведённые искажения пучка в монокристаллах кубической сингонии всех групп симметрии с анизотропным тензором упругой жёсткости. Для длинного стержня и тонкого диска с радиальным теплоотводом при однородной по объёму накачке активного элемента рассчитаны среднее арифметическое и разность термонаведённых набегов фаз собственных поляризаций и угол наклона этих поляризаций. Изучено положение выделенных ориентаций кристалла, не связанных с его элементами симметрии. Найдены эффективные значения термооптической постоянной  $Q$  в двух выделенных ориентациях, а также термооптической постоянной  $P$  в произвольной ориентации.*

**Ключевые слова:** лазеры с высокой средней мощностью, фотоупругий эффект, термонаведённая деполаризация, термооптические постоянные, анизотропия кубических кристаллов.

## 1. Введение

Тепловые эффекты – важный фактор, ограничивающий мощность и качество выходного излучения твердотельных лазеров [1, 2]. Тепловыделение в оптических элементах приводит не только к росту средней по объёму температуры, но и к возникновению температурных градиентов, которые, в свою очередь, являются источником упругих напряжений. Вследствие фотоупругого эффекта в оптических элементах любой природы (стёклах, монокристаллах всех групп симметрии и керамиках) появляется анизотропная и неоднородная по объёму добавка к тензору диэлектрической проницаемости, вызывающая в общем случае как фазовые, так и поляризационные искажения проходящего через них лазерного излучения.

Термонаведённая анизотропия появляется даже в изначально оптически изотропных средах (кубических монокристаллах, стёклах и керамиках). В этих средах существенное влияние на оптическое качество проходящего пучка оказывает процесс перекачки энергии из исходной поляризации в ортогональную (в смысле скалярного произведения), называемый деполаризацией [3, 4]. В средах, обладающих естественным двулучепреломлением (некубические монокристаллы и ориентированные керамики из них) термонаведённое изменение поляризации проходящего излучения обычно незначительно, за исключением случаев его распространения под малыми углами к оптической оси [2], а преобладающее влияние на качество пучка оказывает астигматическое искажение фазы. Во всех кристаллах, включая кубические, вследствие анизотропии их фотоупругих свойств характер термонаведённой анизотропии существенно зависит от ориентации кристаллографических осей в оптическом элементе [5, 6].

А.Г.Вяткин, Е.А.Хазанов. Федеральный исследовательский центр Институт прикладной физики РАН, Россия, 603950 Н.Новгород, ул. Ульянова, 46; e-mail: vyatkin@appl.sci-nnov.ru

Поступила в редакцию 18 октября 2019 г.

Термонаведённые искажения пучка в стёклах были изучены теоретически и экспериментально в 1960-е–1970-е гг. [7–11]. В начале 70-х годов начались исследования искажений в кубических монокристаллах групп симметрии  $m\bar{3}m$ ,  $432$  и  $\bar{4}3m$ , которые мы для краткости будем называть  $m\bar{3}m$ -кристаллами (обозначение объяснено в разд. 2). Вначале была изучена ориентация  $[111]$  ([3, 4, 12–15]), несколькими годами позже – ориентация  $[001]$  ([16, 17]) и критическая ориентация [18, 19]. В 2000-е гг. методом, предложенным в [20], была исследована термонаведённая деполаризация в  $m\bar{3}m$ -кристаллах при произвольной ориентации [21, 22], тогда же было указано на особые свойства ориентации  $[011]$  в них [22–24]. Термонаведённая деполаризация в остальных кубических монокристаллах – групп симметрии  $23$  и  $m\bar{3}$  (для краткости мы будем их называть  $m\bar{3}$ -кристаллами, см. разд. 2) – была теоретически рассмотрена в [25]. Исследование фазовых и поляризационных искажений пучка в кубических  $m\bar{3}m$ -керамиках началось в 2000-х гг. [26–32]. Недавно были теоретически исследованы искажения в  $m\bar{3}$ -керамиках [33–35].

В подавляющем большинстве теоретических работ упругие свойства кубических кристаллов (тензоры упругой жёсткости и упругой податливости) считались изотропными, хотя уже в ранние годы было не только известно, что это лишь приближение, но и было найдено решение задачи упругости для параболического профиля температуры [36, 37]. Анизотропия упругих свойств учитывалась в некоторых работах, посвящённых термооптике как кубических, так и некубических кристаллов, но только для простейших ориентаций [38–41].

В настоящей работе рассмотрены термонаведённые искажения пучка в монокристаллах кубической сингонии всех групп симметрии с учётом анизотропии их упругих свойств и при произвольной ориентации кристаллографических осей. В разд. 2 введены необходимые для постановки задачи обозначения. В разд. 3 обсуждён вопрос формы записи фотоупругого эффекта в средах с неоднородным распределением температуры. Раздел 4 посвящён обзору существующих аналитических решений задач теплопроводности и упругости и выбору наиболее точного реше-

ния для геометрии длинного стержня. В разд.5 получены выражения для термонаведённых искажений пучка в кубических кристаллах в виде длинного стержня и тонкого диска. Найдены среднее арифметическое и разность набегов фаз собственных поляризаций, а также угол наклона собственных поляризаций; обсуждаются выделенные ориентации кристалла; определены эффективные значения термооптических постоянных  $P$  и  $Q$ .

## 2. Постановка задачи и некоторые обозначения

В рамках настоящей статьи мы будем считать, что оптический элемент имеет форму цилиндра, а его ось совпадает с осью  $z$  лабораторной системы координат  $(x, y, z)$  и с направлением распространения пробного излучения. Элемент может быть вырезан из толщи кристалла в разных направлениях. Ориентация элемента однозначно задаётся положением его оси в кристаллографической системе координат  $(a, b, c)$ . Это может быть сделано при помощи первых двух из трёх углов Эйлера – азимутального ( $\alpha$ ) и полярного ( $\beta$ ) (рис.1,  $a, b, z$ ). В результате система координат  $(x'', y'', z)$ , полученная из кристаллографической вследствие поворота на эти два угла, будет привязана к оптическому элементу. При этом третий угол Эйлера,  $\Phi$ , будет равен с обратным знаком углу поворота элемента вокруг своей оси относительно лабораторной системы координат  $(x, y, z)$  (рис.1,  $b, z$ ). Пара углов Эйлера  $(\alpha, \beta)$  задаёт ориентацию кристалла, обозначаемую также при помощи индексов Миллера  $[MNP]$ . В настоящей работе существенное внимание уделено ориентациям вида  $[M0N]$  и  $[MMN]$ , показанным на рис.1,  $d, e$ . Кроме того, мы считаем эквивалентными и не будем различать ориентации,

полученные друг из друга циклической перестановкой индексов  $([NPM], [PMN])$  и изменением знаков индексов  $([MN\bar{P}], [\bar{M}N\bar{P}]$  и др.) [25].

Кроме декартовых систем координат мы будем пользоваться и цилиндрическими. Пусть лабораторной декартовой системе  $(x, y, z)$  соответствует цилиндрическая  $(r, \varphi, z)$ , тогда системе  $(x'', y'', z)$  будет соответствовать система  $(r, \varphi_\Phi, z)$ , где

$$\varphi_\Phi = \varphi + \Phi. \tag{1}$$

Большое тепловыделение и большие термонаведённые искажения в лазерных системах характерны для активных элементов и ячеек Фарадея. В рамках настоящей работы мы будем рассматривать среды, не вращающие плоскость поляризации, поэтому в расчётах термооптики будем для определённости называть оптический элемент активным.

Мы также будем считать, если явно не указано иное, что длина активного элемента  $L$  много больше либо много меньше его радиуса  $R$  (длинный стержень или тонкий диск соответственно), его нагрев равномерен по  $z$ , а охлаждение осуществляется с боковой поверхности. В этих приближениях температура и упругие напряжения в диске, а также температура в стержне не зависят от  $z$ , а напряжения и деформации в стержне практически постоянны на расстоянии больше одного-двух радиусов от его концов, т.е. на большей части длины стержня. Поскольку термонаведённые искажения пучка накапливаются в процессе его распространения в среде, концевыми эффектами в стержне мы будем пренебрегать, следуя общепринятому подходу, за исключением одного из разделов второй части статьи.

В настоящей работе, как и в предшествующих статьях, мы рассматриваем боковое охлаждение тонкого диска. Для этого случая существует точное и простое аналитическое решение задачи упругости, вид которого не зависит от материальных параметров среды и параметров тепловых контактов с хладагентом или хладопроводами, а сами искажения сравнительно велики. Необходимо отметить, что радиальное охлаждение в случае тонкого диска приводит к далеко не оптимальному температурному режиму. В случае торцевого охлаждения перепады температур оказываются существенно ниже и, кроме того, температурные градиенты зачастую практически параллельны оси  $z$ . Оба этих фактора приводят к существенному уменьшению термонаведённых искажений пробного пучка. Для такого режима охлаждения в случае изотропного тензора упругой жёсткости известны несколько приближённых решений [32, 42, 43], одно из которых [32] требует слабого теплоотвода, что противоречит идеологии лазера высокой средней мощности, а во втором, так же как и в решении из [42], полностью пренебрегается радиальным потоком тепла. Решение [43] построено на основе некоторой аппроксимации радиального потока и, как следует из [44] и нашего сравнения с результатами численного моделирования кодом из [45], имеет высокую точность отнюдь не при всех наборах входных параметров. В свою очередь близость направлений температурных градиентов и распространения излучения может привести к сильному влиянию малых отклонений реального поля напряжений от приближённых решений на направления градиентов и, как следствие, на величину термонаведённых искажений пучка. В связи с этим применимость данных решений для

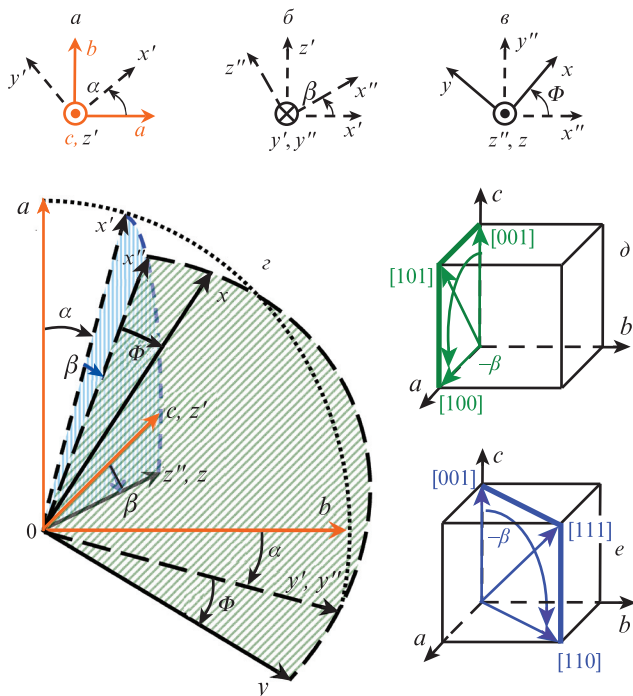


Рис.1. Переход от кристаллографических осей  $(a, b, c)$  через промежуточные системы координат  $(x', y', z')$  и  $(x'', y'', z'')$  к лабораторной системе координат  $(x, y, z)$  путём последовательного вращения на углы Эйлера  $(\alpha, \beta, \Phi)$  ( $a-z$ );  $d$  – ориентации  $[M0N]$  ( $\alpha = 0$ ) в кристаллографической системе координат;  $e$  – ориентации  $[MMN]$  ( $\alpha = \pi/4$ ). Цветной вариант рис.1 помещён на сайте нашего журнала <http://www.quantum-electron.ru>.

расчёта термооптики, в отличие от геометрии с боковым охлаждением, зависит от параметров задачи (аспектного отношения, качества тепловых контактов, формы греющего пучка) и требует отдельного детального исследования, которое целесообразно проводить под конкретную задачу.

В настоящей работе мы сосредоточились на получении общей качественной зависимости степени деполяризации от ориентации в наиболее простой геометрии. Мы считаем, что выявленные закономерности будут применимы и в случае торцевого теплоотвода, несмотря на невозможность количественной оценки величины термонаведённых искажений пучка.

Существуют две распространённые формы записи фотоупругого эффекта: в виде зависимости приращения  $\Delta B$  тензора диэлектрической непроницаемости

$$B = \epsilon^{-1} \tag{2}$$

либо от тензора упругих деформаций  $u$ , либо от тензора упругих напряжений  $\sigma$  [5]:

$$\Delta B_{u\,ij} = p_{ijkl} u_{kl} \tag{3a}$$

$$\Delta B_{\sigma\,ij} = \pi_{ijkl} \sigma_{kl} \tag{3b}$$

где  $\epsilon$  – тензор диэлектрической проницаемости, а  $p$  и  $\pi$  – упругооптический и пьезооптический материальные тензоры четвёртого ранга соответственно. Последние два тензора связаны между собой через тензор упругой податливости  $s$ :

$$\pi_{ijkl} = p_{ijmn} s_{nmkl} \tag{4}$$

Также возможна запись через тензор упругой жёсткости  $c$ , обратный тензору  $s$ :

$$p_{ijmn} = \pi_{ijkl} c_{klmn} \tag{5}$$

$$s_{ijkl} s_{klmn} = \frac{1}{2} (\delta_{im} \delta_{jn} + \delta_{in} \delta_{jm}).$$

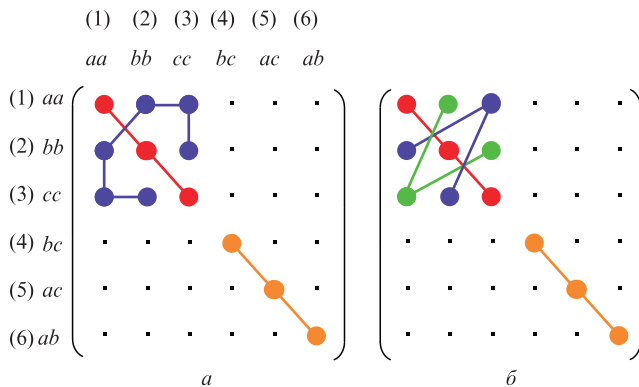


Рис.2. Общий вид материальных тензоров 4-го ранга кристаллов кубической сингонии в двухиндексном обозначении Ная [5]:  $a$  – пьезооптический ( $\pi$ ) и упругооптический ( $p$ ) тензоры кристаллов групп симметрии  $m3m$ ,  $432$  и  $43m$ , а также тензоры упругой жёсткости ( $c$ ) и податливости ( $s$ ) всех групп симметрии;  $b$  – тензоры  $\pi$  и  $p$  кристаллов групп симметрии  $m3$  и  $23$ . Одинаковые элементы соединены прямыми линиями.

В кубическом кристалле тензоры 4-го ранга  $s$  и  $c$  определяются тремя независимыми ненулевыми коэффициентами. Их вид в двухиндексных обозначениях Ная схематично представлен на рис.2, $a$  [5]. Эти кристаллы можно разделить на два типа. В кристаллах групп симметрии  $m3m$ ,  $432$  и  $43m$ , которые мы условились называть  $m3m$ -кристаллами, фотоупругие тензоры  $p$  и  $\pi$  имеют такой же вид. В остальных кристаллах кубической сингонии, относящихся к группам симметрии  $m3$  и  $23$ , которые мы называем  $m3$ -кристаллами, эти два тензора определяются четырьмя независимыми коэффициентами, их общий вид представлен на рис.2, $b$ .

### 3. Выбор формы записи фотоупругой добавки к показателю преломления для изотропной задачи упругости

Входящие в (3) тензоры деформаций и напряжений связаны между собой уравнением упругости

$$u_{ij} - \alpha_{Tij}(T - T_0) = s_{ijkl} \sigma_{kl}, \tag{6}$$

где  $\alpha_T$  – тензор теплового расширения;  $T$  – поле температуры;  $T_0$  – исходная температура, при которой ненапряжённое тело условно считается недеформированным. Из равенств (3)–(6) следует, что приращение  $\Delta B$  (3a) и (3b) не могут быть сделаны равными друг другу в среде любой симметрии даже подбором  $T_0$ , если температура среды зависит от координат:

$$\Delta B_u - \Delta B_\sigma = (T - T_0) \Delta \chi_T, \tag{7}$$

$$\Delta \chi_{T\,ij} = p_{ijkl} \alpha_{T\,kl}.$$

В силу (2) тензор  $\Delta \chi_T$  в линейном приближении представляет собой с точностью до множителя поправку к  $\partial \epsilon / \partial T$  [46, 47], поэтому в задачах термоупругости важно, какой именно формулой из (3) пользоваться. Можно показать, что  $\Delta \chi_T$  имеет ту же симметрию, что и невозмущённая («холодная») диэлектрическая проницаемость среды  $\epsilon_0 = \epsilon(T_0)$ . В связи с этим в частном случае кубического кристалла различие (7) между формулами (3) сказывается только на фазовых искажениях пучка, не влияя на поляризационные [47]:

$$\Delta \chi_{T\,ij} = \delta_{ij} \Delta \chi_T, \tag{8a}$$

где

$$\Delta \chi_T = (p_{aaaa} + p_{aabb} + p_{bbaa}) \alpha_T; \tag{8b}$$

$\delta_{ij}$  – символ Кронекера (отметим, что последующие формулы работы [47] рассчитаны для  $m3m$ -кристаллов и к  $m3$ -кристаллам неприменимы).

Полное приращение диэлектрической проницаемости можно записать в виде

$$\Delta \epsilon_{ij}(u, T) = (\partial \epsilon_{ij} / \partial T)_u (T - T_0) + (\partial \epsilon_{ij} / \partial u_{mn})_{T, u_k} u_{mn}, \tag{9a}$$

$$\Delta \epsilon_{ij}(\sigma, T) = (\partial \epsilon_{ij} / \partial T)_\sigma (T - T_0) + (\partial \epsilon_{ij} / \partial \sigma_{mn})_{T, \sigma_k} \sigma_{mn}, \tag{9b}$$

где  $kl \neq mn$ . В этой записи температурные производные диэлектрической проницаемости должны быть определе-

ны в разных условиях: в (9а) – при нулевых деформациях, в (9б) – при нулевых напряжениях, и потому их значения в общем случае различны, что обозначено нижними индексами. В привычных обозначениях (2), (3) выражение (9) принимает вид

$$\Delta\varepsilon_{ij}(\mathbf{u}, T) = (\partial\varepsilon_{ij}/\partial T)_u (T - T_0) - \varepsilon_{0ik}\varepsilon_{0lj}\Delta B_{ukl}, \quad (10a)$$

$$\Delta\varepsilon_{ij}(\boldsymbol{\sigma}, T) = (\partial\varepsilon_{ij}/\partial T)_\sigma (T - T_0) - \varepsilon_{0ik}\varepsilon_{0lj}\Delta B_{\sigma kl}. \quad (10b)$$

В кубическом кристалле подстановка (7) в (10) даёт

$$(n_0^3/2)\Delta\chi_T = \beta_u - \beta_\sigma, \quad (11)$$

$$\beta_\mu = (\partial\varepsilon/\partial T)_\mu.$$

где  $n$  – показатель преломления;  $n_0 = n(T_0)$  [46, 47].

Из выражений (9) также следует, что тензоры  $\mathbf{p}$  и  $\boldsymbol{\pi}$  должны быть изотермическими, т. е. они должны быть определены при постоянной температуре [7, 46, 47] (в ряде задач используются адиабатические тензоры, определяемые при постоянной энтропии [5]).

Рассмотрим в свете этих соотношений термооптическую постоянную  $P$  – удобную характеристику для описания средней между двумя собственными поляризациями (обозначим их I и II) тепловой линзы в кубических кристаллах:

$$[n_I(r) + n_{II}(r)]/2 = n(0) + [T(r) - T(0)]P. \quad (12)$$

Этот параметр был впервые введён для длинных стержней из стекла в [10]. В дисковой и стержневой геометриях  $P$  имеет разный вид [16], а кроме того, в случае тонкого диска в него иногда включают слагаемое, отвечающее за изменение длины активного элемента [11, 16] (величину с дополнительным слагаемым в пп.5.3.2 мы обозначили как  $P^{\text{rot}}$ ). В работе [16] также отмечено, что полусумма собственных показателей преломления в кубических м3m-кристаллах в общем случае не сводится к виду (12) в ориентации [011]. Впоследствии было обнаружено, что в таких кристаллах  $P$  по формуле (12) можно ввести только в ориентациях [001] и [111], а также для статистических средних показателей преломления в оптической керамике, причём получаемые три значения  $P$  различны в каждой геометрии [16, 30, 32] (рассматривались м3m-кристаллы). В связи с этим  $P$  часто определяют в ориентации [001] в соответствии с выражением (12), а в остальных случаях вводят в формулу дополнительные слагаемые (см. [30, 32, 33, 35, 48]). Тогда величина  $P$  зависит только от материальных параметров и геометрии (длинной стержень или тонкий диск) и, таким образом, с оговоркой на заданную геометрию сама является материальным параметром. Мы также будем придерживаться этого подхода, а величину, введённую в соответствии с (12) при произвольной ориентации кристалла, обозначим  $P^{\text{eff}}$  (см. пп.5.3.2).

Рассмотрим активный элемент из кубического кристалла с ориентацией [001] ( $\alpha = \beta = 0$ ) или изотропного материала. В первом случае будем дополнительно, следуя традиции (см. Введение), считать упругие свойства изотропными. Изотропный тензор упругой податливости в двухиндексном обозначении Ная имеет в любой декартовой системе координат следующие ненулевые компоненты [5] (см. также рис.2.a):

$$s_{11} = E^{-1}, s_{12} = -\nu s_{11}, s_{66} = 2(s_{11} - s_{12}), \quad (13)$$

где  $E$  и  $\nu$  – модуль Юнга и коэффициент Пуассона соответственно. Далее мы для краткости будем называть такие среды упругоизотропными. Используя выражения для тензора напряжений в цилиндрических телах из [49], несложно показать, что при использовании формулы (10a) выражения для  $P$  имеют вид

$$P_{\text{disk}}(\beta_u, \mathbf{p}) = \beta_u - (1 + 4\zeta_p)Q_{\text{disk}}, \quad (14a)$$

$$P_{\text{rod}}(\beta_u, \mathbf{p}) = \beta_u - (1 + 2\zeta_p)Q_{\text{rod}}, \quad (14b)$$

а при использовании формулы (10b) в эквивалентном виде

$$P_{\text{disk}}(\beta_\sigma, \boldsymbol{\pi}) = \beta_\sigma + (1 + 2\zeta_\pi)Q_{\text{disk}}, \quad (15a)$$

$$P_{\text{rod}}(\beta_\sigma, \boldsymbol{\pi}) = \beta_\sigma + (1 + 4\zeta_\pi)Q_{\text{rod}}, \quad (15b)$$

где

$$Q_{\text{disk}} = \frac{1}{4}\alpha_T n_0^3 E \pi_s = \frac{1}{4}\alpha_T n_0^3 (1 + \nu) p_s; \quad (16)$$

$$Q_{\text{rod}} = Q_{\text{disk}}/(1 - \nu),$$

а

$$\begin{aligned} \zeta_p &= p_{12}^a/p_s; & \zeta_\pi &= \pi_{12}^a/\pi_s; \\ p_s &= p_{11} - p_{12}^a; & \pi_s &= \pi_{11} - \pi_{12}^a; \\ p_{12}^a &= \frac{1}{2}(p_{12} + p_{21}); & \pi_{12}^a &= \frac{1}{2}(\pi_{12} + \pi_{21}) \end{aligned} \quad (17)$$

(в м3m-кристаллах  $p_{12}^a = p_{12} = p_{21}$ ,  $\pi_{12}^a = \pi_{12} = \pi_{21}$ ; см. рис.2.a). Величина  $Q$  также называется термооптической постоянной [10, 11]. Подставив (11) в (14), можно получить выражение через смешанный набор переменных:

$$P_{\text{disk}}(\beta_\sigma, \mathbf{p}) = \beta_\sigma + \frac{1}{4}\alpha_T n_0^3 [p_{11}(1 - \nu) + p_{12}^a(1 - 3\nu)], \quad (18)$$

$$P_{\text{rod}}(\beta_\sigma, \mathbf{p}) = \beta_\sigma + \frac{1}{4}\alpha_T n_0^3 [p_{11}(1 - 3\nu) + p_{12}^a(3 - 5\nu)].$$

Как видно из этих формул, вид выражения для тепловой линзы существенно зависит от выбора переменных. Приведённый в Приложении 1 обзор литературы, тем не менее, показывает, что общепринятого соглашения о выборе формулы для описания фотоупругого эффекта не только не существует, но зачастую различие между ними и сопутствующий вопрос об условии определения  $\partial n/\partial T$  игнорируются. По нашему мнению, из упомянутых в обзоре источников приращение показателя преломления корректно, однозначно и полно описано в [7, 9, 10, 46, 47, 50] и, с небольшой оговоркой, в [4] (в ряде работ внимание уделено только двулучепреломлению, поэтому в этот список они не включены). При этом описание осуществляется одним из двух математически эквивалентных способов: с помощью  $(\partial n/\partial T)_u$  и (3a) [7, 46, 47, 50]; с помощью  $(\partial n/\partial T)_\sigma$  и (3б) [4, 7, 9, 10, 46, 47].

Мы считаем второй вариант предпочтительным по следующим причинам:

1. Величину  $(\partial n/\partial T)_\sigma$  измерить проще, чем  $(\partial n/\partial T)_n$ , поскольку для однородно нагретого тела условие отсутствия напряжений выполняется автоматически [46, 50].

2. Компоненты тензора  $\pi$  также измерить проще, чем компоненты тензора  $p$ , поскольку создать и измерить одноосную нагрузку легче, чем малую одноосную деформацию.

3. Как отмечено в [46], в приближениях длинного стержня и тонкого диска формулы для компонент тензора напряжений [49] проще, чем для компонент тензора деформаций [32, 51].

4. В случае анизотропного тензора упругой податливости этот вариант значительно удобнее, по крайней мере для кубических кристаллов (см. п.4.2).

Напротив, преимущество первого варианта состоит в том, что для вычисления термонаведённых искажений пучка не требуется знать модуль Юнга среды. Однако это не очень существенный фактор, поскольку данный параметр, как правило, хорошо известен. Второе преимущество проявляется в некубических кристаллах, в которых из-за несимметричной части тензора деформаций необходимо учитывать поворот оптической оси или осей, для чего обычно вводится несимметричный по последней паре индексов тензор  $p$  [52–54]. Через тензоры  $\pi$  и  $\sigma$  этот эффект учесть невозможно. Это очень специфическая задача, требующая отдельного рассмотрения, поскольку нахождение несимметричной части тензора деформаций в известных на данный момент аналитических решениях задачи упругости не предусматривается (см. п.4.2).

Таким образом, термонаведённые искажения пучка (см. разд. 5) мы будем выражать через пьезооптический тензор.

## 4. Решение задачи термоупругости в анизотропных средах

### 4.1. Параболическое распределение температуры при анизотропной теплопроводности

Параболическое распределение температуры является одним из простейших в задачах термоупругости. Оно возникает в цилиндрических оптических элементах в условиях изотропной теплопроводности, однородных бокового охлаждения и тепловыделения в объёме элемента. Первое из этих условий выполняется только для изотропных сред и кубических кристаллов, а также, ввиду отсутствия продольных потоков тепла, для одноосных кристаллов в ориентациях  $[001]$  и  $[00\bar{1}]$ .

В работе [36] было показано, что такое же распределение температуры возникает в оптических элементах с произвольным видом тензора теплопроводности среды при заданной температуре на границе, что соответствует высокоэффективному охлаждению. Удобно ввести безразмерную температуру  $\tau$ :

$$T - T_0 = T_{\text{int}} \tau, \quad (19)$$

где  $T_{\text{int}} = P_\Sigma / (4\pi L \kappa^a)$ ;  $P_\Sigma$  – полная мощность тепловыделения в оптическом элементе;  $T_0$  – температура хладагента или хладопровода на поверхности теплового контакта. В изотропных средах в качестве  $\kappa^a$  используется коэффициент теплопроводности  $\kappa$ . В анизотропных средах последний является тензором второго ранга, а

$$\kappa^a = \frac{\text{Sp}(\kappa_\perp)}{2} = \frac{(\kappa_{xx} + \kappa_{yy})}{2}, \quad (20a)$$

где

$$\kappa_\perp = \begin{pmatrix} \kappa_{xx} & \kappa_{xy} \\ \kappa_{xy} & \kappa_{yy} \end{pmatrix}. \quad (20б)$$

При однородном тепловыделении безразмерная температура

$$\tau(u) = 1 - u, \quad u = \frac{r^2}{R^2}. \quad (21)$$

Таким образом,  $T_{\text{int}}$  имеет смысл перепада температуры внутри оптического элемента. В частном случае изотропного тензора поперечной теплопроводности  $\kappa_\perp$ , имеющем место для одноосных сред с ориентацией  $[001]$ , кубических кристаллов и изотропных тел, при произвольном граничном условии решение примет вид

$$\tau(u) = 1 + \tau_0 - u, \quad (22)$$

отличающийся от (21) наличием постоянной составляющей  $\tau_0 = 2\kappa/(RH) = 2/\text{Bi}$ , обратно пропорциональной числу Био  $\text{Bi}$ , где величина  $H$  характеризует качество теплового контакта элемента с хладагентом или хладопроводом и называется коэффициентом теплопередачи или поверхностной проводимостью.

С практической точки зрения для применимости решения (19)–(21) в случае анизотропного тензора  $\kappa_\perp$  необходимо, чтобы  $\text{Bi} \gg 1$ , причём в качестве  $\kappa$  для оценки сверху взять максимальное собственное значение тензора. Это условие означает ограничение снизу на величину  $H$  и выполняется при качественной организации охлаждения. Рассмотрим, например, активный элемент радиусом  $R = 1$  см из кристалла YAG, обладающего хорошей теплопроводностью ( $\kappa = 10 \text{ Вт} \cdot \text{м}^{-1} \cdot \text{К}^{-1}$ ). При охлаждении с использованием хладопровода через хорошую термопасту или индиевую фольгу ( $H = 2 \text{ Вт} \cdot \text{см}^{-2} \cdot \text{К}^{-1}$  [50]) получим  $\tau_0 = 0.1$  ( $\text{Bi} = 20$ ), а при охлаждении через индиевый припой ( $H = 20 \text{ Вт} \cdot \text{см}^{-2} \cdot \text{К}^{-1}$  [55])  $\tau_0 = 0.01$  ( $\text{Bi} = 200$ ).

Таким образом, в цилиндрических оптических элементах параболический профиль температуры устанавливается при однородном по объёму тепловыделении. В некубических кристаллах необходимым требованием также является высокое качество теплового контакта с хладопроводом, которое может быть достигнуто при контакте твёрдых тел.

### 4.2. Обзор аналитических решений задачи термоупругости

В работах [36, 39] было получено решение задачи упругости для длинного стержня и тонкого диска при параболическом профиле температуры и произвольных симметрии и ориентации кристалла. Найденные поля напряжений имеют сходства с полями, наблюдающимися в упругоизотропных (см. (13)) средах. Эти решения основаны на том, что уравнения механического равновесия в указанных геометриях вследствие своей независимости от продольной координаты  $z$  сводятся к двумерной форме:

$$\begin{aligned}\frac{\partial \sigma_{xx}}{\partial x} + \frac{\partial \sigma_{xy}}{\partial y} &= 0, \\ \frac{\partial \sigma_{xy}}{\partial x} + \frac{\partial \sigma_{yy}}{\partial y} &= 0.\end{aligned}\quad (23a)$$

Такой системе уравнений с краевыми условиями свободной границы

$$\begin{aligned}(\sigma_{xx} \cos \varphi + \sigma_{xy} \sin \varphi)|_{x^2+y^2=R^2} &= 0, \\ (\sigma_{xy} \cos \varphi + \sigma_{yy} \sin \varphi)|_{x^2+y^2=R^2} &= 0\end{aligned}\quad (23b)$$

автоматически удовлетворяют аксиально-симметричные формулы для внутриплоскостных компонент тензора напряжений ( $\sigma_{ij}$  при  $i, j \neq z$ )

$$\begin{aligned}\sigma_{rr} &= A(u-1), \\ \sigma_{\varphi\varphi} &= A(3u-1), \\ \sigma_{r\varphi} &= 0,\end{aligned}\quad (24a)$$

которые в декартовой системе координат имеют вид

$$\begin{aligned}\sigma_{xx} &= A(x^2 + 3y^2 - R^2)/R^2, \\ \sigma_{yy} &= A(3x^2 + y^2 - R^2)/R^2, \\ \sigma_{xy} &= -2Axy/R^2\end{aligned}\quad (24b)$$

и отличаются от решения изотропной задачи пока произвольным коэффициентом  $A$ .

В тонком диске внеплоскостные напряжения  $\sigma_{jz}$  считаются равными нулю. Решение задачи упругости при произвольном тензоре упругой податливости  $s$  было впервые опубликовано без вывода в [36]. Оно может быть получено, например, методами, изложенными в посвящённой геометрии длинного стержня работе [39], из приведённых там же уравнений. Недавно это решение было использовано для простейших ориентаций тетрагонального кристалла в [40, 41], но в более громоздкой форме, через тензор упругой жёсткости.

Коэффициент  $A$  для диска, который мы будем обозначать  $A_{\text{disk}}$ , определяется из обобщения закона Гука (6) и уравнения совместности деформаций Сен-Венана

$$\frac{\partial^2 u_{xx}}{\partial y^2} + \frac{\partial^2 u_{yy}}{\partial x^2} - 2 \frac{\partial^2 u_{xy}}{\partial x \partial y} = 0, \quad (25)$$

сводящегося в случае параболического профиля температуры к линейному алгебраическому уравнению. Перепишем результат из [36] в удобных нам обозначениях:

$$\begin{aligned}A_{\text{disk}} &= T_{\text{int}} \alpha_T^a a_{\text{disk}} / 4, \quad \alpha_T^a = (\alpha_{T_{xx}} + \alpha_{T_{yy}}) / 2, \\ a_{\text{disk}} &= 8(3s_{xxxx} + 3s_{yyyy} + 2s_{xxyy} + 4s_{xyxy})^{-1}.\end{aligned}\quad (26)$$

Таким образом, в тонком диске из произвольного кристалла при параболическом распределении температуры поле напряжений аксиально-симметрично. Ввиду анизотропии материального уравнения (6) поле деформаций

(а также поле смещений) этой симметрией в общем случае не обладает [40, 41].

В геометрии длинного стержня решение задачи упругости для параболического радиального профиля температуры получено ранее двумя различными способами. Решение [37, 39], которое мы в дальнейшем будем называть решением Парфёнова, построено следующим образом. Вначале рассматривается задача  $(\mathbf{u}_0, \boldsymbol{\sigma}_0)$  о стержне с закреплёнными концами (внеплоскостные деформации  $u_{0jz} = 0$ ). Предлагается разбить соотношения (6) на две подсистемы – для внутриплоскостных и внеплоскостных деформаций соответственно:

$$\begin{aligned}\begin{pmatrix} u_{0xx} \\ u_{0yy} \\ 2u_{0xy} \end{pmatrix} &= \begin{pmatrix} s'_{11} & s'_{12} & s'_{16} \\ s'_{12} & s'_{22} & s'_{26} \\ s'_{16} & s'_{26} & s'_{66} \end{pmatrix} \begin{pmatrix} \sigma_{0xx} \\ \sigma_{0yy} \\ \sigma_{0xy} \end{pmatrix} \\ &+ \begin{pmatrix} s'_{13} & s'_{14} & s'_{15} \\ s'_{23} & s'_{24} & s'_{25} \\ s'_{36} & s'_{46} & s'_{56} \end{pmatrix} \begin{pmatrix} \sigma_{0zz} \\ \sigma_{0yz} \\ \sigma_{0xz} \end{pmatrix} + \begin{pmatrix} \alpha_{T_{xx}} \\ \alpha_{T_{yy}} \\ 2\alpha_{T_{xy}} \end{pmatrix} (T - T_0),\end{aligned}\quad (27a)$$

$$\begin{aligned}\begin{pmatrix} u_{0zz} \\ 2u_{0yz} \\ 2u_{0xz} \end{pmatrix} &= \begin{pmatrix} 0 \\ 0 \\ 0 \end{pmatrix} = \begin{pmatrix} s'_{33} & s'_{34} & s'_{35} \\ s'_{34} & s'_{44} & s'_{45} \\ s'_{35} & s'_{45} & s'_{55} \end{pmatrix} \begin{pmatrix} \sigma_{0zz} \\ \sigma_{0yz} \\ \sigma_{0xz} \end{pmatrix} \\ &+ \begin{pmatrix} s'_{13} & s'_{23} & s'_{36} \\ s'_{14} & s'_{24} & s'_{46} \\ s'_{15} & s'_{25} & s'_{56} \end{pmatrix} \begin{pmatrix} \sigma_{0xx} \\ \sigma_{0yy} \\ \sigma_{0xy} \end{pmatrix} + \begin{pmatrix} \alpha_{T_{zz}} \\ 2\alpha_{T_{yz}} \\ 2\alpha_{T_{xz}} \end{pmatrix} (T - T_0),\end{aligned}\quad (27b)$$

где штрих указывает на то, что двухиндексное обозначение  $N_{ij}$  введено относительно лабораторной системы координат, а не кристаллографической, как на рис.2,а. Далее из (27) предлагается исключить внеплоскостные напряжения, а затем с использованием (24б) и (25) снова получить линейное алгебраическое уравнение для  $A = A_{\text{год}}$ . Решив его, мы определим внутриплоскостные напряжения, после подстановки которых в (27б) также находятся внеплоскостные напряжения.

После этого осуществляется приближённая корректировка решения на случай стержня, способного однородно по поперечному сечению расширяться в направлении оси  $z$ : вводятся постоянные по сечению стержня поправки  $\delta\sigma_{jz} = \sigma_{jz} - \sigma_{0jz}$ , такие, чтобы средние по сечению от  $\sigma_{jz}$  были равны нулю. Это условие означает изменение граничного условия на торцах стержня, а именно равенство нулю приложенных к ним суммарных сил. Вносимые поправки не влияют на дифференциальные уравнения равновесия внутри стержня, но приводят к пересчёту постоянной составляющей тензора  $\mathbf{u}$ , поскольку в соответствии с (6)

$$u_{ij} - u_{0ij} = s_{ijk} (\sigma_{kz} - \sigma_{0kz}). \quad (28)$$

Получаемое решение является приближённым, т. к. на торцах стержня условие механически свободной границы не выполняется в отдельных точках поперечного сечения. В силу того что система сил, приложенных к каждому торцу, уравновешена, в соответствии с принципом Сен-Венана вносимое такой подменой граничного условия возмущение решения сосредоточено в ограниченной области (длиной порядка диаметра стержня) [49].

Вследствие линейности задачи термоупругости по аналогии с тонким диском удобно ввести обозначения

$$\begin{aligned} A_{\text{rod}} &= T_{\text{int}} \tilde{a}_p / 4, \\ \sigma_{zz \text{ rod}} &= \frac{1}{2} T_{\text{int}} [\tilde{d}_{p1} (2u - 1) + \tilde{d}_{p2} u \cos 2\varphi + \tilde{d}_{p3} u \sin 2\varphi] / 4 \end{aligned} \quad (29)$$

и аналогичные обозначения для  $\sigma_{xz}$  и  $\sigma_{yz}$ .

Отметим, что в статьях [37, 39] неправильно переведён в обозначения Ная тензор теплового расширения, из-за чего в этих работах отсутствуют коэффициенты 2 в температурных членах в (27). Правила преобразования для тензоров  $\mathbf{u}$  и  $\boldsymbol{\alpha}_T$  должны быть одинаковыми, чтобы уравнение (6) выполнялось одновременно в обеих формах записи. Впрочем, в частных случаях, рассмотренных в работах [37, 39], соответствующие компоненты тензора  $\boldsymbol{\alpha}_T$  были равны нулю, поэтому ошибка на конечные результаты не повлияла.

Решение Парфёнова имеет существенное ограничение. Оно не гарантирует выполнения третьего уравнения равновесия

$$\frac{\partial \sigma_{xz}}{\partial x} + \frac{\partial \sigma_{yz}}{\partial y} = 0, \quad (30a)$$

третьего граничного условия на боковой поверхности стержня

$$(\sigma_{xz} \cos \varphi + \sigma_{yz} \sin \varphi) \Big|_{x^2 + y^2 = R^2} = 0 \quad (30b)$$

и ещё двух уравнений Сен-Венана, получающихся из (25) циклической заменой координат  $(x, y, z)$ . Если последние уравнения не выполняются и в решении для тонкого диска, что можно списать на приближённый характер обоих решений, то специфическое для решения Парфёнова несоблюдение (30) требует отдельного внимания.

В статье [36] приведено другое решение задачи упругости в длинном стержне, будем называть его решением Сиротина. Использовался метод функции напряжений С.Г.Лехницкого [56]. Решение получено в виде

$$\begin{aligned} A_{\text{rod}} &= T_{\text{int}} \tilde{a}_s / 4, \\ \sigma_{xz \text{ rod}} &= \frac{1}{2} T_{\text{int}} [\tilde{c}_s (2u - 1) - \tilde{c}_s u \cos 2\varphi - \tilde{b}_s u \sin 2\varphi] / 4, \\ \sigma_{yz \text{ rod}} &= \frac{1}{2} T_{\text{int}} [\tilde{b}_s (2u - 1) + \tilde{b}_s u \cos 2\varphi - \tilde{c}_s u \sin 2\varphi] / 4, \\ \sigma_{zz \text{ rod}} &= \frac{1}{2} T_{\text{int}} [\tilde{d}_{s1} (2u - 1) + \tilde{d}_{s2} u \cos 2\varphi + \tilde{d}_{s3} u \sin 2\varphi] / 4, \end{aligned} \quad (31)$$

где выражения для коэффициентов  $\tilde{a}_s, \tilde{b}_s, \tilde{c}_s, \tilde{d}_{sj}$  приведены в Приложении 3. Легко показать, что уравнениям (30) это решение удовлетворяет, но не гарантирует аксиальной симметричности внеплоскостных сдвиговых деформаций  $u_{rz}$  и  $u_{\varphi z}$ , которые в решении Парфёнова постоянны в соответствии с (27б), (28), и выполнения всех трех условий совместности, включая (25). Можно показать, что  $u_{zz}$  постоянна в поперечном сечении стержня в обоих решениях.

Таким образом, в обоих решениях для длинного стержня из произвольного кристалла при параболическом распределении температуры аксиально-симметричной является только внутривекторная часть поля напряжений и постоянная по поперечному сечению деформация  $u_{zz}$ . В решении Парфёнова постоянны в поперечном сечении, а

следовательно, аксиально-симметричны, и остальные внеплоскостные деформации. Другие компоненты решений аксиальной симметрией в общем случае не обладают. Кроме того, стоит отметить, что в общем случае все три внеплоскостные деформации в стержне с незакрепленными концами отличны от нуля, так что использование термина «плоская деформация» применительно к этому случаю для кристаллов произвольной симметрии имеет смысл только после дополнительных обоснований.

Беглый анализ рассмотренных выше решений задачи упругости говорит о том, что описание фотоупругого эффекта в виде  $(\partial n / \partial T)_\sigma$  и (36) удобнее, чем в виде  $(\partial n / \partial T)_u$  и (3а), не только в упругоизотропных средах, но и, по крайней мере, в кубических кристаллах, для которых хорошо развита теория, базирующаяся на аксиально-симметричном решении задачи упругости (см. ссылки во Введении). Так, в тонком диске поле напряжений отличается от упругоизотропного случая, подробно исследованного ранее [22, 25], только скалярным коэффициентом, который, как показано в п.5.1, в расчёте двулучепреломления лишь перенормировывает мощность теплового выделения. В длинном стержне, кроме аналогичной перенормировки, требуется учесть изменения в напряжении  $\sigma_{zz}$ , а также ставшие ненулевыми  $\sigma_{xz}$  и  $\sigma_{yz}$ . Однако эта процедура проще, чем подстановка в (3а) не обладающего в общем случае аксиальной симметрией тензора деформаций, найденного из тензора напряжений и (6).

В случае некубических сред необходимо учесть замечание о несимметричной части тензора деформаций, приведённое в конце разд.3.

### 4.3. Решение задачи упругости для кубического кристалла

Рассмотрим подробнее описанные в п.4.2 поля напряжений в длинном стержне и тонком диске в цилиндрических элементах из кубических кристаллов. Поскольку их тензор упругой податливости (рис.2,а) в общем случае не изотропен, напряжения будут зависеть от ориентации кристаллографических осей.

#### 4.3.1. Решение для тонкого диска

В геометрии тонкого диска при произвольной ориентации  $[MNP]$ , также обозначаемой углами Эйлера  $(\alpha, \beta)$  (см. разд.2 и рис.1), коэффициент  $a_{\text{disk}}$  (26), определяющий величину тензора напряжений, может быть записан в виде

$$\begin{aligned} a_{\text{disk}} &= E_{[001]} / Z_{\text{disk}}, \\ Z_{\text{disk}} &= 1 + (1 + \nu_{[001]})(1 - \xi_s)(3f_1 - 1)/4, \\ f_1 &= -(\sin^2 2\beta + \sin^2 2\alpha \sin^4 \beta) / 4 \\ &= -\frac{M^2 N^2 + M^2 P^2 + N^2 P^2}{(M^2 + N^2 + P^2)^2}, \end{aligned} \quad (32)$$

где

$$\xi_s = \frac{s_{66}}{2(s_{11} - s_{12})} = \frac{2s_{abab}}{s_{aaaa} - s_{aabb}} \quad (33)$$

– параметр упругой анизотропии, введённый, например, в [6, 18]. В средах с анизотропным тензором  $\mathbf{s}$  по аналогии с изотропными средами принято использовать модуль

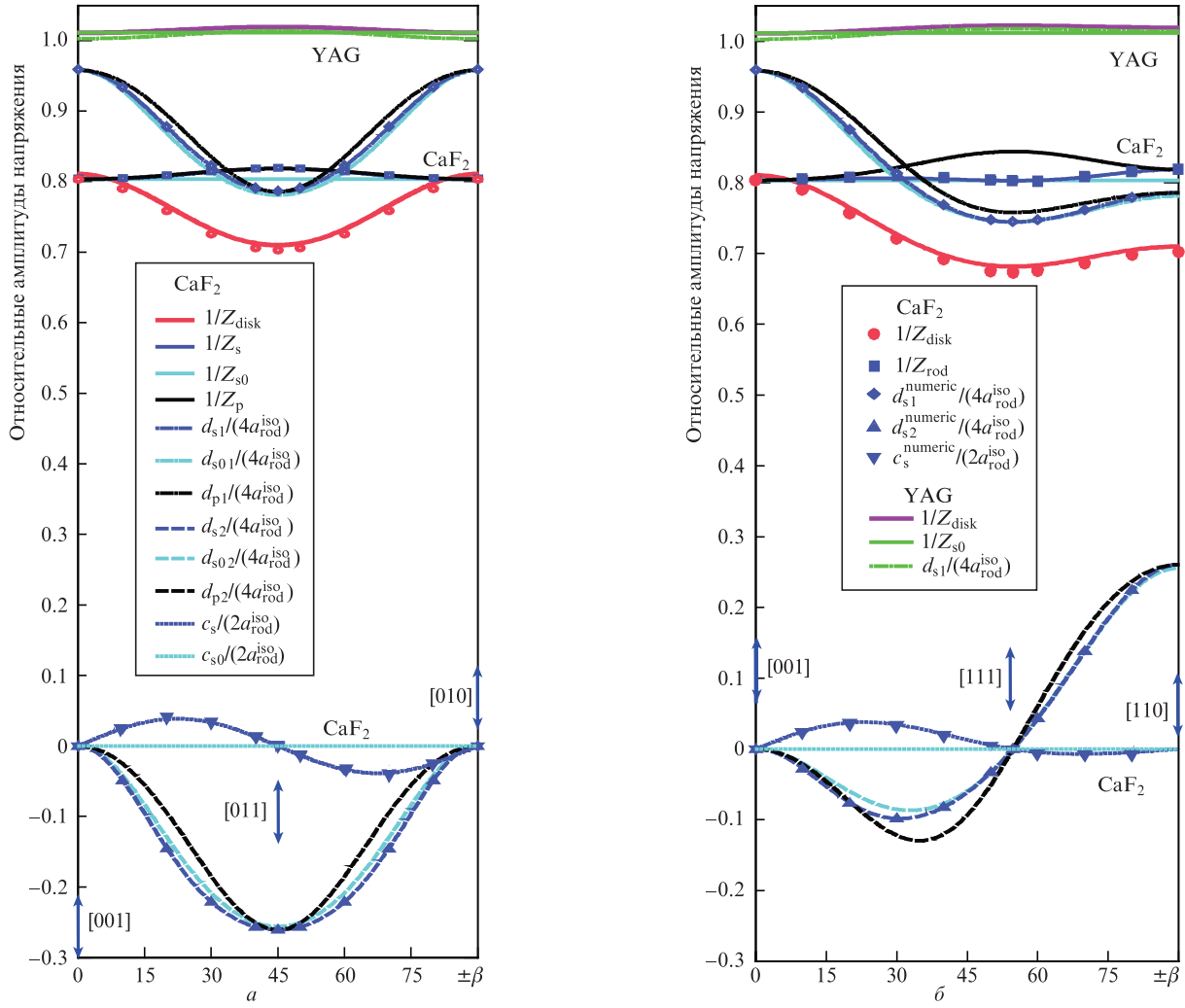


Рис.3. Аналитически (кривые) и численно (точки) рассчитанные на примере  $\text{CaF}_2$  напряжения как функции угла Эйлера  $\beta$  в ориентациях  $[MON]$  (угол Эйлера  $\alpha = 0$ ) (а) и  $[MMN]$  ( $\alpha = \pi/4$ ) (б). Для тонкого диска:  $1/Z_{\text{disk}}$  (красная кривая,  $\circ$ ). Для длинного стержня: полное (синие кривые) и упрощённое (голубые кривые) решения Сиротина, решение Парфёнова (чёрные кривые);  $1/Z_{s0p}$  (сплошные кривые,  $\square$ ),  $d_{s101p1} \times (4a_{\text{rod}}^{\text{iso}})^{-1}$  (штрихпунктирные кривые,  $\diamond$ ),  $\bar{d}_{s202p2}/(2a_{\text{rod}}^{\text{iso}})$  (штриховые кривые,  $\circ$ ) и  $\bar{c}_{s0}/(2a_{\text{rod}}^{\text{iso}})$  (пунктирные кривые,  $\nabla$ ). В верхней части рисунка для сравнения приведены кривые для YAG:  $1/Z_{\text{disk}}$  (сплошная малиновая кривая),  $1/Z_s$  (сплошная зелёная кривая) и  $d_{s1}/(4a_{\text{rod}}^{\text{iso}})$  (штрихпунктирная зелёная кривая). Цветной вариант рис.3 помещён на сайте нашего журнала <http://www.quantum-electron.ru>.

Юнга и коэффициент Пуассона, являющиеся в этом случае функциями направления (коэффициент Пуассона может быть также введён как функция двух ортогональных направлений) [6, 57, 58]. В формуле (32) используются эти параметры в направлении  $[001]$ :

$$E_{[001]} = s_{11}^{-1}, \quad \nu_{[001]} = -s_{12}/s_{11}. \quad (34)$$

В изотропной среде выполняется (13), поэтому  $\xi_s = 1$  и

$$a_{\text{disk}}^{\text{iso}} = E. \quad (35)$$

Следовательно, в предположении, что тензор упругой податливости изотропной среды отличается от анизотропного только величиной  $s_{66}$ ,

$$Z_{\text{disk}} = \frac{a_{\text{disk}}^{\text{iso}}}{a_{\text{disk}}}. \quad (36)$$

Для направления  $[MNP]$  в кристалле модуль Юнга [6, 58]

$$E_{[MNP]} = E_{[001]}[1 + 2(1 + \nu_{[001]})(1 - \xi_s)f_1]^{-1} \quad (37)$$

и не совпадает с  $a_{\text{disk}}$ . Необходимо также отметить, что положительная определённость тензора  $s$  накладывает на упругие свойства кристаллов следующие ограничения [6]:

$$E_{[001]} \geq 0, \quad -1 \leq \nu_{[001]} \leq 1/2, \quad \xi_s \geq 0. \quad (38)$$

В простейших ориентациях кристалла  $[001]$ ,  $[011]$  и  $[111]$

$$f_1[001] = 0, \quad f_1[011] = -1/4, \quad f_1[111] = -1/3. \quad (39)$$

Ориентации  $[001]$  и  $[111]$  являются точками глобального максимума и минимума величин  $f_1$  и  $Z_{\text{disk}}$ .

На рис.3 приведены зависимости величины  $1/Z_{\text{disk}}$  от ориентации кристаллографических осей в активном элементе из обладающего существенной упругой анизотропией  $\text{CaF}_2$  и из слабо упругоанизотропного YAG (параметры  $\xi_s$  даны в табл.1). Вариация  $1/Z_{\text{disk}}$  в  $\text{CaF}_2$  составляет примерно 13%, а в YAG она пренебрежимо мала.



Для расчёта тепловой линзы нам также понадобится нормальная продольная деформация  $u_{zz}$ . Расчёт по формуле (6) даёт

$$u_{zz} = \alpha_T(T - T_0) + (s_{xxzz} + s_{yyzz})(\sigma_{rr} + \sigma_{\varphi\varphi})/2 + [(s_{xxzz} - s_{yyzz})\cos 2\varphi + 2s_{xyzz}\sin 2\varphi](\sigma_{rr} - \sigma_{\varphi\varphi})/2 \quad (40)$$

и далее

$$u_{zz} = \alpha_T T_{\text{int}} \left\{ (1 - u) + \frac{v_{[001]}}{Z_{\text{disk}}} \left( \frac{1}{2} - u \right) + \frac{1 + v_{[001]}}{Z_{\text{disk}}} \left[ F_{1s} \left( \frac{1}{2} - u \right) + F_{2s} \frac{u}{2} \cos 2\varphi_{\Phi} + F_{3s} \frac{u}{2} \sin 2\varphi_{\Phi} \right] \right\}, \quad (41)$$

где выражения для  $F_{is}$ ,  $i = 1, \dots, 3$  приведены в Приложении 3, а  $\varphi_{\Phi}$  определена в (1).

#### 4.3.2. Решения для длинного стержня

В кубическом кристалле тензор напряжений пропорционален скалярному коэффициенту теплового расширения, поэтому для стержня удобно в выражения (29), (31) ввести коэффициенты

$$\{a_p, d_{pi}, a_s, b_s, c_s, d_{si}\} = \alpha_T^{-1} \{\tilde{a}_p, \tilde{d}_{pi}, \tilde{a}_s, \tilde{b}_s, \tilde{c}_s, \tilde{d}_{si}\}, \quad (42)$$

от него не зависящие ( $i = 1, \dots, 3$ ). Решение Парфёнова дано в неявном виде и потому не поддаётся простому анализу. Решение Сиротина (П2.1)–(П2.3), очень громоздкое в общем виде, в ряде частных случаев может быть существенно упрощено. Для удобства дальнейшего изложения мы будем рассматривать решения задачи упругости (29) и (31) не в лабораторной системе координат  $(x, y, z)$ , а в привязанной к активному элементу системе  $(x'', y'', z)$ ; поворот на угол  $\Phi$  будем учитывать отдельно. Величины  $a_p, d_{p1}, a_s, d_{s1}$  одинаковы в обеих системах координат, а остальные коэффициенты (42) переобозначим:

$$\{\tilde{d}_{pi}, \tilde{b}_s, \tilde{c}_s, \tilde{d}_{si}\} = \{d_{pi}, b_s, c_s, d_{si}\} \Big|_{\Phi=0}. \quad (43)$$

В работе [36], кроме общего решения, были получены упрощённые формулы для некоторых простейших ориентаций кристаллов различной симметрии. Для кубических кристаллов таковыми являются ориентации [001], [011] и [111], а соответствующие решения приведены в (П2.6). В приближении изотропной задачи упругости как общее решение, так и выражения (П2.6) для всех трёх ориентаций приводятся к привычному виду

$$\begin{aligned} a_{\text{rod}}^{\text{iso}} &= E/(1 - \nu) = (s_{11} + s_{12})^{-1}, \\ d_{\text{rod1}}^{\text{iso}} &= 4a_{\text{rod}}^{\text{iso}}, \\ l_{\text{rod}}^{\text{iso}} &= c_{\text{rod}}^{\text{iso}} = d_{\text{rod2}}^{\text{iso}} = d_{\text{rod3}}^{\text{iso}} = 0. \end{aligned} \quad (44)$$

Для дальнейшего рассмотрения удобно по аналогии с диском ввести коэффициенты

$$\begin{aligned} Z_p &= a_{\text{rod}}^{\text{iso}}/a_p, \\ Z_s &= a_{\text{rod}}^{\text{iso}}/a_s, \end{aligned} \quad (45)$$

$$\{D_1, D_2, D_3, D_b, D_c\} = \{d_{s1}, \tilde{d}_{s2}, \tilde{d}_{s3}, \tilde{b}_s, \tilde{c}_s\} / (4a_s).$$

Величины  $1/Z_{sp}$  представляют собой магнитуды внутривоскостных напряжений в стержне произвольной ориентации в решениях Сиротина и Парфёнова, нормированные на магнитуду внутривоскостных напряжений в упругоизотропном стержне, отличающемся от анизотропного величиной  $s_{66}$  (см. (13), (33), (34)). Величины  $D_i$  ( $i = 1, 2, 3, b, c$ ) являются магнитудами различных слагаемых компоненты  $\sigma_{zz}$  ( $i = 1, 2, 3$ ), а также компонент  $\sigma_{x''z}$  и  $\sigma_{y''z}$  ( $i = b, c$ ) в решении Сиротина, нормированными на магнитуду внутривоскостных напряжений в той же ориентации. Величины  $D_i/Z_s = \{\tilde{d}_{si}, \tilde{b}_s, \tilde{c}_s\} / (4a_{\text{rod}}^{\text{iso}})$  представляют собой магнитуды тех же составляющих напряжений, нормированные на магнитуду внутривоскостных напряжений в упругоизотропном стержне.

Как и в случае тонкого диска, в обоих решениях для длинного стержня внутривоскостные напряжения отличаются от упругоизотропных множителями  $1/Z_{sp}$  (рис.3), которые, как и для диска, зависят от ориентации кристалла, но значительно слабее, особенно слабо – в решении Сиротина. Кроме того, внеплоскостные напряжения необходимо рассчитывать по формулам, отличным от формул для упругоизотропного случая.

Тензор деформаций в длинном стержне из кубического кристалла имеет следующие свойства: в решении Парфёнова деформации  $u_{rz} = u_{\varphi z} = 0$ ,  $u_{zz}$  также постоянна по сечению,

$$u_{zz} = \alpha_T T_{\text{int}} / 2, \quad (46)$$

т. е. такое состояние стержня в этих средах можно считать обобщённым плоскодеформированным, как и в случае изотропной упругости. В решении Сиротина деформация  $u_{zz}$  такая же, а  $u_{rz}$  и  $u_{\varphi z}$  отличны от нуля и зависят от координат в поперечном сечении активного элемента.

Мы изучили внеплоскостные скальвающие напряжения и внеплоскостные сдвиговые деформации в решении Сиротина подробнее. Максимальное значение внеплоскостной недиагональной составляющей произвольного симметричного тензора 2-го ранга  $X$  в заданной точке есть

$$X_{\perp} = \max_{\mu \perp z} (X_{\mu z}) = \sqrt{X_{rz}^2 + X_{\varphi z}^2}, \quad (47)$$

а максимальное значение диагональной внутривоскостной составляющей

$$X_{\parallel} = \max_{\mu \perp z} (X_{\mu\mu}) = \frac{1}{2} [|X_{rr} + X_{\varphi\varphi}| + \sqrt{(X_{rr} - X_{\varphi\varphi})^2 + 4X_{r\varphi}^2}]. \quad (48)$$

Мы сравнили между собой максимальные по поперечному сечению оптического элемента нормированные значения  $\sigma_{\perp}$  и  $u_{\perp}$  в оптических элементах из различных кубических материалов (табл.1) различных ориентаций (отметим, что компоненты напряжений достигают максимума на образующей цилиндра):

$$\begin{aligned} M_1 &= \max_S (\sigma_{\perp}) / \max_S (\sigma_{\parallel}) = \sqrt{b_s^2 + c_s^2} / (2a_s), \\ M_2 &= \max_S (\sigma_{\perp}) / \max_S (\sigma_{zz}) = 2\sqrt{b_s^2 + c_s^2} / (d_{s1} + \sqrt{d_{s2}^2 + d_{s3}^2}), \\ N_1 &= \max_S (u_{\perp}) / \max_S (u_{\parallel}), \end{aligned} \quad (49)$$

Табл.1. Материальные свойства использованных в расчётах реальных и модельных m3m-кристаллов.

Среда	$\xi_\pi$	$\xi_s$	$\nu_{[001]}$
CaF <sub>2</sub>	-0.47 [59, 60]	1.77 [61]	0.212 [61]
SrF <sub>2</sub>	-0.284 [60]	1.25 [62]	0.266 [62]
KCl	-1.2 [16]	2.69 [62]	0.135 [62]
YAG	3.2 [2]	0.965 [62]	0.25 [62]
1	3.2	1.77	0.212
2	3.2	0.44	0.212

$$N_2 = \max_s(u_\perp) / \max_s(u_{zz}).$$

В наших расчётах  $M_i$  составляли единицы процентов, тогда как  $N_i$  находились в пределах 7% – 15%, превышая  $M_i$  в 3–6 раз. Из этого мы заключили, что, вопреки нашим интуитивным предположениям, решение задачи упругости в анизотропном стержне ближе к плосконапряжённому состоянию, характерному для тонкого диска, чем к плоскодеформированному, по крайней мере в кубических кристаллах. Таким образом, считать решение Сиротина обобщением плоской деформации, по нашему мнению, нельзя.

#### 4.3.3. Упрощённое решение Сиротина для стержня

Важным частным случаем решения Сиротина является случай, когда  $\xi_s$  слабо отличается от единицы. Анализ решения показал, что при

$$\frac{1}{2} < \xi_s < 2, \quad 0 < \nu_{[001]} < 0.4 \quad (50)$$

величина  $a_s$  от ориентации практически не зависит, а  $\bar{b}_s$  и  $\bar{c}_s$  малы (т. е. малы  $\sigma_{x'z}$  и  $\sigma_{y'z}$ ; часть зависимостей приведена на рис.3). Пренебрегая этими малыми поправками, можно упростить формулы (П2.3) (с учётом (42)) до вида

$$\begin{aligned} \{d_{s1}, \bar{d}_{s2}, \bar{d}_{s3}\} &\approx \{d_{01}, \bar{d}_{02}, \bar{d}_{03}\} = 4a_0 \{D_{01}, D_{02}, D_{03}\}, \\ \{\bar{b}_s, \bar{c}_s\} &\approx \{\bar{b}_0, \bar{c}_0\} = 0, \\ D_{01} &= \frac{(s_{11}a_0)^{-1} + \nu_{[001]} + (1 + \nu_{[001]})F_{1s}}{1 + 2(1 + \nu_{[001]})F_{1s}}, \\ D_{02} &= -D_0 F_{2s}, \\ D_{03} &= -D_0 F_{3s}, \\ D_0 &= \frac{1 + \nu_{[001]}}{1 + 2(1 + \nu_{[001]})F_{1s}}, \end{aligned} \quad (51)$$

пригодного для аналитического анализа (см. обозначения в Приложении 3), где в качестве  $a_0$  можно использовать любое из выражений для  $a_s$  из (П2.6), например исходя из близости исследуемой ориентации к простейшим. В настоящей работе мы для определённости будем использовать выражение для  $a_{s[001]}$ . Для удобства дальнейшего анализа введём по аналогии с полными решениями множитель

$$Z_0 = a_{\text{rod}}^{\text{iso}} / a_0, \quad (52)$$

являющийся в данном приближении постоянным. В приближении изотропной задачи упругости  $Z_0 = D_{01} = 1, D_{02} = D_{03} = 0$ .

#### 4.3.4. Численная проверка аналитических решений задачи упругости

Для проверки рассмотренных выше аналитических решений задачи упругости мы в частном случае кубического кристалла рассчитали поля напряжений в длинном стержне и тонком диске при помощи трёхмерного коммерческого FEM-кода для различных  $\xi_s$  и  $\nu_{[001]}$ . Аспектное отношение  $L/2R$  увеличивалось в стержне и уменьшалось в диске до тех пор, пока численное решение не начинало совпадать с одним из аналитических. Полученные зависимости некоторых напряжений в YAG и CaF<sub>2</sub> в среднем по продольной координате  $z$  сечения для  $L/2R = 5$  и  $L/2R = 1/40$  приведены на рис.3 как функции угла Эйлера  $\beta$  для ориентаций  $[MON]$  ( $\alpha = 0$ ) и  $[MMN]$  ( $\alpha = \pi/4$ ) в сравнении с аналитическими кривыми. Из рис.3 можно заключить, что решение для диска и решение Сиротина для стержня хорошо согласуются с численным, тогда как решение Парфёнова заметно от него отклоняется за исключением окрестностей ориентаций  $[001]$  и  $[101]$ , в которых два аналитических решения для стержня совпадают.

Из рис.3 также видно, что упрощённое решение хорошо аппроксимирует полное решение Сиротина, за исключением напряжений  $\sigma_{jz}$ , которыми мы пренебрегли при упрощении: разность решений не превышает единиц процентов и в целом меньше разности решений Парфёнова и Сиротина.

Таким образом, в дальнейшем мы будем считать достаточно точными для практического использования аналитическое решение для диска и решение Сиротина для стержня. Данный результат получен нами только для кубических кристаллов, но мы предполагаем, что он справедлив для кристаллов любой симметрии.

## 5. Расчёт термооптики в упругоанизотропных кубических кристаллах

Искажения пучка, наводимые активным элементом с линейным двулучепреломлением, не зависящим от продольной координаты  $z$ , определяются тремя функциями поперечных координат  $(x, y)$ : средним арифметическим  $\delta_0$  набегов фаз собственных поляризаций (индексы I и II в выражении (12)), углом наклона этих поляризаций  $\Psi$  и разностью набегов их фаз  $\delta$ . Рассмотрим пучок, исходно линейно поляризованный под углом  $\theta$  в плоскости  $xu$  и прошедший через такой активный элемент.

В отсутствие циркулярного двулучепреломления локальную степень депolarизации пучка принято называть отношением интенсивности поля, поляризованного после прохождения одного или нескольких двулучепреломляющих элементов ортогонально исходной поляризации пучка, к его полной интенсивности. Интегральной степенью депolarизации называют отношение соответствующих мощностей. В приближении плоских волн методом матриц Джонса [63] несложно получить, что после прохождения пучком одного активного элемента, результирующий диэлектрический тензор которого (10) не зависит от  $z$ , локальная степень термонаведённой депolarизации может быть вычислена по формуле

$$\Gamma(x, y) = \sin^2(\delta/2) \sin^2(\Psi - \theta). \quad (53)$$

При слабом двулучепреломлении она упрощается до

$$\Gamma_0(x, y) \approx \frac{1}{4} \delta^2 \sin^2 2(\Psi - \theta) \quad (54)$$

и, как легко видеть, определяется линейной комбинацией величин  $\delta \cos 2\Psi$  и  $\delta \sin 2\Psi$  с коэффициентами, зависящими от угла наклона входной поляризации.

Интегральная степень деполяризации по определению представляет собой локальную степень деполяризации, усреднённую по входному пробному пучку:

$$\gamma = \left[ \iint_S |\mathbf{E}_{in}|^2 dS \right]^{-1} \iint_S \Gamma |\mathbf{E}_{in}|^2 dS, \quad (55)$$

где  $\mathbf{E}_{in}$  – напряжённость поля (здесь и далее для простоты полагаем, что поглощение и усиление пробного излучения в среде отсутствуют). При сильном двулучепреломлении  $\gamma$  стремится к установившемуся значению

$$\gamma_\infty = \left[ \iint_S |\mathbf{E}_{in}|^2 dS \right]^{-1} \iint_S \gamma_{\infty \text{ loc}} |\mathbf{E}_{in}|^2 dS, \quad (56)$$

где

$$\gamma_{\infty \text{ loc}} = \langle \Gamma_\infty(x, y) \rangle = \frac{1}{2} \sin^2 2(\Psi - \theta) \quad (57)$$

(см., напр., [25]). Величина  $\gamma_{\infty \text{ loc}}$  представляет собой локальную степень деполяризации (53), усреднённую по небольшой области поперечного сечения, в границах которой в условиях сильного двулучепреломления разность фаз изменяется на величину, много большую  $2\pi$ , в то время как поля температуры и напряжений, а также профиль интенсивности пробного пучка меняются слабо.

Тем же методом искажение фазы исходно поляризованной компоненты пучка может быть найдено в виде

$$\Delta\varphi(x, y) = \delta_0 + \arctan[\tan(\delta/2) \cos 2(\Psi - \theta)]. \quad (58)$$

В приближении изотропной задачи упругости было показано, что зависимость термонаведённых искажений пучка от ориентации кристаллографических осей в  $m3m$ -кристаллах определяется параметром фотоупругой анизотропии  $\xi$ , который, в зависимости от выбора между (3а) и (3б), может быть записан в виде упругооптического ( $\xi_p$ ) либо пьезооптического ( $\xi_\pi$ ) отношений [21, 22, 25]:

$$\xi_p = 2p_{66}/p_s = 2p_{abab}/p_s, \quad (59a)$$

$$\xi_\pi = \pi_{66}/\pi_s = 2\pi_{abab}/\pi_s \quad (59b)$$

(см. обозначения в (17)). Несложно показать, что (см. (4))

$$\xi_\pi = \xi_p \xi_s, \quad (60)$$

поэтому в упругоанизотропных кристаллах ( $\xi_s \neq 1$ ) отношения (59) различаются. В  $m3$ -кристаллах, кроме параметра  $\xi$ , необходимо определить второй параметр фотоупругой анизотропии [25], не зависящий от формы записи выражения (3):

$$\xi_d = (\pi_{12} - \pi_{21})/\pi_s = (p_{12} - p_{21})/p_s. \quad (61)$$

Поскольку мы считаем описание фотоупругого эффекта в виде (3б) предпочтительным, а тензор  $\sigma$  в упругоани-

зотропных кристаллах полностью либо частично аксиально-симметричен (см. п.4.2), формулы для термонаведённого изменения диэлектрической проницаемости будут похожи на упругоизотропные выражения из работ [21, 22, 25], в которых для  $\xi$  используется (59б).

### 5.1. Искажения пучка в упругоанизотропных цилиндрических активных элементах

В соответствии с формулой (10б) величины  $\Psi$ ,  $\delta$  и  $\delta_0$  могут быть записаны в виде

$$\begin{aligned} \cot 2\Psi(r, \varphi) &= \frac{\Delta B_{\sigma_{xx}} - \Delta B_{\sigma_{yy}}}{2\Delta B_{\sigma_{xy}}}, \\ \delta(r, \varphi) &= k_0 L(n_{II} - n_{II}) = -\frac{k_0 L n_0^3}{2} \frac{2\Delta B_{\sigma_{xy}}}{\sin 2\Psi} \\ &= -\frac{k_0 L n_0^3}{2} \frac{(\Delta B_{\sigma_{xx}} - \Delta B_{\sigma_{yy}})}{\cos 2\Psi}, \\ \delta_0(r, \varphi) &= k_0 L(n_0 - 1)u_{zz} + k_0 L[(n_{II} + n_{II})/2 - n_0] \\ &= k_0 L[(n_0 - 1)u_{zz} + \beta_\sigma(T - T_0) \\ &\quad - (n_0^3/2)(\Delta B_{\sigma_{xx}} + \Delta B_{\sigma_{yy}}/2)]. \end{aligned} \quad (62)$$

Здесь и далее мы для определённости полагаем, что на торцы элемента не нанесено отражающих покрытий, а показатель преломления окружающей среды равен единице. В противном случае слагаемое в  $\delta_0$ , отвечающее за изменение длины элемента (пропорциональное  $(n_0 - 1)u_{zz}$ ), должно быть соответствующим образом скорректировано.

Подставив в эти выражения (3б), тензор напряжений из пп.4.3.1 и пьезооптический тензор кубического кристалла (см. рис.2) при произвольной ориентации кристаллографических осей, в геометрии тонкого диска получим

$$\begin{aligned} \delta_0 &= \frac{p}{2Q_{\text{disk}}} \left\{ \beta_\sigma(1 - u) + \alpha_T(n_0 - 1) \right. \\ &\quad \times \left[ (1 - u) + \frac{v_{[001]}}{Z_{\text{disk}}} \left( \frac{1}{2} - u \right) \right] + \alpha_T(n_0 - 1) \frac{1 + v_{[001]}}{Z_{\text{disk}}} \\ &\quad \times \left[ F_{1s} \left( \frac{1}{2} - u \right) + \frac{u}{2} (F_{2s} \cos 2\varphi_\Phi + F_{3s} \sin 2\varphi_\Phi) \right] \left. \right\} \\ &+ \frac{p}{2Z_{\text{disk}}} \left[ (1 + 2\xi_\pi + F_1) \left( \frac{1}{2} - u \right) + \frac{u}{2} (F_2 \cos 2\varphi_\Phi + F_3 \sin 2\varphi_\Phi) \right], \\ \delta \cos 2\Psi &= \frac{p}{Z_{\text{disk}}} \left[ A_{1\Phi} \left( \frac{1}{2} - u \right) + \frac{u}{2} (A_{2\Phi} \cos 2\varphi_\Phi + A_{3\Phi} \sin 2\varphi_\Phi) \right], \\ \delta \sin 2\Psi &= \frac{p}{Z_{\text{disk}}} \left[ B_{1\Phi} \left( \frac{1}{2} - u \right) + \frac{u}{2} (B_{2\Phi} \cos 2\varphi_\Phi + B_{3\Phi} \sin 2\varphi_\Phi) \right], \end{aligned} \quad (63)$$

где

$$p = Q P_\Sigma / (\lambda k) \quad (64)$$

– безразмерная мощность тепловыделения; величина  $u$  определена в (21);  $\lambda$  – длина волны в свободном пространстве, а выражения для  $A_{i\Phi}$ ,  $B_{i\Phi}$ ,  $F_i$  и  $F_{is}$ ,  $i = 1, \dots, 3$  приведены в Приложении 3. Выражения (63) даны в виде, наиболее удобном при слабом двулучепреломлении.

Выполнив ту же подстановку с использованием решения Сиротина из пп.4.3.2, для длинного стержня получим

$$\begin{aligned} \delta_0 = & \frac{P}{2Q_{\text{rod}}} \left[ \beta_{\sigma}(1-u) + \frac{\alpha_T}{2}(n_0-1) \right] + \frac{P}{2Z_s} \left\{ (1+4\xi_{\pi}) \left( \frac{1}{2}-u \right) \right. \\ & - 2\xi_{\pi} \left[ (D_1-1) \left( u - \frac{1}{2} \right) + \frac{u}{2} (D_2 \cos 2\varphi_{\Phi} + D_3 \sin 2\varphi_{\Phi}) \right] \\ & + [(2D_1-1)F_1 - 2(D_b F_4 + D_c F_5)] \left( u - \frac{1}{2} \right) \\ & + [F_2 + 2D_2 F_1 + 2(D_c F_5 - D_b F_4)] \frac{u}{2} \cos 2\varphi_{\Phi} \\ & \left. + [F_3 + 2D_3 F_1 + 2(D_c F_4 + D_b F_5)] \frac{u}{2} \sin 2\varphi_{\Phi} \right\}, \end{aligned} \quad (65)$$

$$\begin{aligned} \delta \cos 2\Psi = & \frac{P}{Z_s} \left\{ [(2D_1-1)A_{1\Phi} - 2(D_b A_{4\Phi} + D_c A_{5\Phi})] \left( u - \frac{1}{2} \right) \right. \\ & + [A_{2\Phi} + 2D_2 A_{1\Phi} + 2(D_c A_{5\Phi} - D_b A_{4\Phi})] \frac{u}{2} \cos 2\varphi_{\Phi} \\ & \left. + [A_{3\Phi} + 2D_3 A_{1\Phi} + 2(D_c A_{4\Phi} + D_b A_{5\Phi})] \frac{u}{2} \sin 2\varphi_{\Phi} \right\}, \end{aligned}$$

$$\begin{aligned} \delta \sin 2\Psi = & \frac{P}{Z_s} \left\{ [(2D_1-1)B_{1\Phi} - 2(D_b B_{4\Phi} + D_c B_{5\Phi})] \left( u - \frac{1}{2} \right) \right. \\ & + [B_{2\Phi} + 2D_2 B_{1\Phi} + 2(D_c B_{5\Phi} - D_b B_{4\Phi})] \frac{u}{2} \cos 2\varphi_{\Phi} \\ & \left. + [B_{3\Phi} + 2D_3 B_{1\Phi} + 2(D_c B_{4\Phi} + D_b B_{5\Phi})] \frac{u}{2} \sin 2\varphi_{\Phi} \right\}, \end{aligned}$$

где выражения для  $A_{i\Phi}$ ,  $B_{i\Phi}$  и  $F_i$  ( $i = 4, 5$ ) также приведены в Приложении 3. Для сохранения общности формы записи с упругоизотропным случаем мы ввели термооптическую постоянную  $Q$  следующим образом:

$$\begin{aligned} Q_{\text{disk}} = & \frac{1}{4} \alpha_T n_0^3 \pi_s / s_{11} = \frac{1}{4} \alpha_T n_0^3 E_{[001]} \pi_s, \\ Q_{\text{rod}} = & \frac{1}{4} \alpha_T n_0^3 \pi_s / (s_{11} + s_{22}) = Q_{\text{disk}} / (1 - \nu_{[001]}). \end{aligned} \quad (66)$$

Легко видеть, что в упругоизотропном случае (13) выражения (66) принимают вид (16).

Выражения (63), (65) схожи с упругоизотропными, однако имеют ряд важных отличий, помимо иного определения величины  $Q$ . В тонком диске слагаемые для среднего арифметического набегов фаз  $\delta_0$ , отвечающие за изменение длины кристалла (пропорциональные  $\alpha_T(n_0-1)$ ), теперь зависят от ориентации кристалла и в общем случае не являются аксиально-симметричными. В стержне соответствующее слагаемое в нашем приближении постоянно по сечению активного элемента. Слагаемые в набеге фаз, вызванные фотоупругим эффектом, имеют множитель  $1/Z$ , также зависящий от ориентации кристалла (легко показать, что  $\Psi$  от  $Z$  не зависит). В тонком диске это единственное отличие двулучепреломления от упругоизотропного случая. Следовательно, при слабом двулучепреломлении степень деполяризации изменится пропорционально квадрату разности фаз  $\delta$  в  $Z_{\text{disk}}^2$  раз, а при сильном двулучепреломлении, когда степень деполяризации  $\gamma_{\infty}$  (56), (57) зависит только от угла наклона собственных поляризаций  $\Psi$ , останется прежней. В длинном стержне формулы для упругоанизотропного случая содержат новые слагаемые, влияющие как на  $\delta$ , так и на  $\Psi$ . Следовательно, в этом случае зависимость степени деполяризации от ориентации кристалла является сложной функцией параметров фотоупругой и упругой анизотропий.

В приближении (51) выражения (65) упрощаются к следующему виду:

$$\begin{aligned} \delta_0 \approx & \frac{P}{2Q_{\text{rod}}} \left[ \beta_{\sigma}(1-u) + \frac{\alpha_T}{2}(n_0-1) \right] + \frac{P}{2Z_0} \left\{ (1+4\xi_{\pi}) \left( \frac{1}{2}-u \right) \right. \\ & - 2\xi_{\pi} \left[ (D_{01}-1) \left( u - \frac{1}{2} \right) - D_0 \frac{u}{2} (F_{2s} \cos 2\varphi_{\Phi} + F_{3s} \sin 2\varphi_{\Phi}) \right] \\ & + (2D_{01}-1)F_1 \left( u - \frac{1}{2} \right) + \frac{u}{2} [(F_2 - 2D_0 F_{2s} F_1) \cos 2\varphi_{\Phi} \\ & \left. + (F_3 - 2D_0 F_{3s} F_1) \sin 2\varphi_{\Phi}] \right\}, \end{aligned} \quad (67)$$

$$\begin{aligned} \delta \cos 2\Psi \approx & \frac{P}{Z_0} \left[ (2D_{01}-1)A_{1\Phi} \left( u - \frac{1}{2} \right) + (A_{2\Phi} - 2D_0 F_{2s} A_{1\Phi}) \right. \\ & \left. \times \frac{u}{2} \cos 2\varphi_{\Phi} + (A_{3\Phi} - 2D_0 F_{3s} A_{1\Phi}) \frac{u}{2} \sin 2\varphi_{\Phi} \right], \end{aligned}$$

$$\begin{aligned} \delta \sin 2\Psi \approx & \frac{P}{Z_0} \left[ (2D_{01}-1)B_{1\Phi} \left( u - \frac{1}{2} \right) + (B_{2\Phi} - 2D_0 F_{2s} B_{1\Phi}) \right. \\ & \left. \times \frac{u}{2} \cos 2\varphi_{\Phi} + (B_{3\Phi} - 2D_0 F_{3s} B_{1\Phi}) \frac{u}{2} \sin 2\varphi_{\Phi} \right]. \end{aligned}$$

Формулы (63), (65) и (67) могут быть также записаны иначе: они останутся верными, если опустить индекс  $\Phi$  у коэффициентов  $A_i$  и  $B_i$  и заменить  $\Psi$  на

$$\Psi_{\Phi} = \Psi + \Phi. \quad (68)$$

В частности, при  $\Phi = 0$  для упрощения этих формул достаточно опустить индекс  $\Phi$  везде.

В частном случае  $\alpha = 0$  (ориентации  $[M0N]$ , см. рис.1.а) в тонком диске

$$\begin{aligned} \delta_0 = & \frac{P}{2Q_{\text{disk}}} \left\{ \beta_{\sigma}(1-u) + \alpha_T(n_0-1) \right. \\ & \times \left[ (1-u) + \frac{\nu_{[001]}}{Z_{\text{disk}}} \left( \frac{1}{2}-u \right) \right] + \alpha_T(n_0-1) \frac{1+\nu_{[001]}}{Z_{\text{disk}}} \\ & \times \left[ F_{1s} \left( \frac{1}{2}-u \right) + F_{2s} \frac{u}{2} \cos 2\varphi_{\Phi} \right] \left. \right\} \\ & + \frac{P}{2Z_{\text{disk}}} \left[ (1+2\xi_{\pi} + F_1) \left( \frac{1}{2}-u \right) + F_2 \frac{u}{2} \cos 2\varphi_{\Phi} \right], \end{aligned} \quad (69)$$

$$\delta \cos 2\Psi_{\Phi} = \frac{P}{Z_{\text{disk}}} \left[ A_1 \left( \frac{1}{2}-u \right) + A_2 \frac{u}{2} \cos 2\varphi_{\Phi} \right],$$

$$\delta \sin 2\Psi_{\Phi} = \frac{P}{Z_{\text{disk}}} \xi_{\pi} \frac{u}{2} \sin 2\varphi_{\Phi},$$

а в длинном стержне  $D_b = D_3 = 0$ , и

$$\begin{aligned} \delta_0 = & \frac{P}{2Q_{\text{rod}}} \left[ \beta_{\sigma}(1-u) + \frac{\alpha_T}{2}(n_0-1) \right] + \frac{P}{2Z_s} \left\{ (1+4\xi_{\pi}) \left( \frac{1}{2}-u \right) \right. \\ & - 2\xi_{\pi} \left[ (D_1-1) \left( u - \frac{1}{2} \right) + \frac{u}{2} D_2 \cos 2\varphi_{\Phi} \right] \\ & + [(2D_1-1)F_1 - 2D_c F_5] \left( u - \frac{1}{2} \right) \\ & \left. + (F_2 + 2D_2 F_1 + 2D_c F_5) \frac{u}{2} \cos 2\varphi_{\Phi} \right\}, \end{aligned} \quad (70)$$

$$\begin{aligned} \delta \cos 2\Psi_{\Phi} = & \frac{P}{Z_s} \left\{ [(2D_1-1)A_1 - 2D_c A_5] \left( u - \frac{1}{2} \right) \right. \\ & \left. + (A_2 + 2D_2 A_1 + 2D_c A_5) \frac{u}{2} \cos 2\varphi_{\Phi} \right\}, \end{aligned}$$

$$\delta \sin 2\Psi_\Phi = \frac{p}{Z_s} \xi_\pi \frac{u}{2} \sin 2\varphi_\Phi.$$

Во избежание путаницы отметим, что при  $\beta = \pi/2$  (ориентации  $[NM0]$ , эквивалентные  $[M0N]$ )  $D_c F_5 = D_c A_5 = 0$ , зато отличны от нуля  $D_b F_4$  и  $D_b A_4$ , в остальном формулы такие же. В приближении (51) выражения (70) принимают вид

$$\begin{aligned} \delta_0 &\approx \frac{p}{2Q_{\text{rod}}} \left[ \beta_\sigma (1-u) + \frac{\alpha_T}{2} (n_0 - 1) \right] + \frac{p}{2Z_0} \left\{ (1 + 4\xi_\pi) \left( \frac{1}{2} - u \right) \right. \\ &\quad \left. - 2\xi_\pi \left[ (D_{01} - 1) \left( u - \frac{1}{2} \right) + D_0 \frac{u}{2} F_{2s} \cos 2\varphi_\Phi \right] \right. \\ &\quad \left. + (2D_{01} - 1) F_1 \left( u - \frac{1}{2} \right) + \frac{u}{2} (F_2 - 2D_0 F_{2s} F_1) \cos 2\varphi_\Phi \right\}, \\ \delta \cos 2\Psi_\Phi &\approx \frac{p}{Z_0} \left[ (2D_{01} - 1) A_1 \left( u - \frac{1}{2} \right) \right. \\ &\quad \left. + (A_2 - 2D_0 F_{2s} A_1) \frac{u}{2} \cos 2\varphi_\Phi \right], \\ \delta \sin 2\Psi_\Phi &\approx \frac{p}{Z_0} \xi_\pi \frac{u}{2} \sin 2\varphi_\Phi. \end{aligned} \quad (71)$$

В  $m3m$ -кристаллах при  $\alpha = \pi/4$  (ориентации  $[MMN]$ , см. рис.1,е) в тонком диске

$$\delta \sin 2\Psi_\Phi = \frac{p}{Z_{\text{disk}}} B_3 \frac{u}{2} \sin 2\varphi_\Phi, \quad (72)$$

в длинном стержне снова  $D_b = D_3 = 0$ , и

$$\delta \sin 2\Psi_\Phi = \frac{p}{Z_s} (B_3 + 2D_c B_4) \frac{u}{2} \sin 2\varphi_\Phi, \quad (73)$$

а в приближении (51)

$$\delta \sin 2\Psi_\Phi \approx \frac{p}{Z_0} B_3 \frac{u}{2} \sin 2\varphi_\Phi. \quad (74)$$

Величины  $\delta_0$  и  $\delta \cos 2\Psi_\Phi$  в этих случаях определяются выражениями (69), (70) и (71) (значения всех коэффициентов должны быть пересчитаны с учетом изменения угла  $\alpha$ ). Также напомним, что в простейших ориентациях  $[001]$ ,  $[011]$  и  $[111]$  возможно дальнейшее упрощение выражений (69)–(74) с использованием формул (П2.6).

## 5.2. Выделенные ориентации в упругоанизотропных кристаллах

В работе [22] утверждается, что в упругоанизотропном  $m3m$ -кристалле в отсутствие критической ориентации  $[[C]]$  наилучшей и наихудшей с точки зрения минимизации степени деполяризации (55) являются простейшие ориентации, связанные с элементами симметрии кристалла ( $[001]$ ,  $[011]$  и  $[111]$ ). В подавляющем большинстве случаев это утверждение справедливо. Во всех случаях справедливо более слабое утверждение: простейшие ориентации являются точками локальных экстремумов либо седловыми точками степени деполяризации. Из-за совпадения симметрии упругого и фотоупругого тензоров в  $m3m$ -кристаллах (см. рис.2,а) учёт анизотропии упругих свойств оставляет эти ориентации экстремальными, хотя в редких случаях тип экстремума может измениться. Такой случай будет рассмотрен во второй части статьи.

В отличие от простейших, ориентация  $[[C]]$  [18, 19] не связана с элементами симметрии кристалла, и её положение

может измениться. Пьезооптические тензоры  $m3$ -кристаллов имеют пониженную симметрию (рис.2,б), поэтому для таких кристаллов в большинстве случаев оптимальными являются ориентации, также не связанные с элементами симметрии кристалла и с хорошей точностью определяющиеся аналитическими оценками  $[[A]]$  и  $[[B]]$  [25]. Положение этих ориентаций также может измениться при учёте анизотропии упругих свойств кристалла. В п.5.2 рассчитывается положение ориентаций  $[[A]]$ ,  $[[B]]$  и  $[[C]]$  в упругоанизотропных кристаллах. Кроме того, найдена ориентация  $[[D]]$ , также не связанная с элементами симметрии кристалла, которая является точкой локального минимума либо седловой точкой, а в редких случаях – точкой глобального минимума степени деполяризации при сильном двулучепреломлении.

### 5.2.1. Ориентация $[[C]]$ в $m3m$ -кристаллах

В работе [18] в упругоанизотропном приближении вычислено положение ориентации  $[[C]]$  в  $m3m$ -кристаллах для длинного стержня и тонкого диска произвольного поперечного сечения при произвольной форме греющего пучка. Вывод основан на требовании

$$\Delta B_{xy} = 0 \quad (75)$$

при  $\Phi = 0$  и произвольном в рамках этих геометрий тензоре напряжений. Поскольку в кубических кристаллах  $\alpha_{T,xy} \equiv 0$ , то в (3)  $\Delta B_{\sigma,xy} = \Delta B_{u,xy}$ . В связи с этим одновременное применение (3б) для тонкого диска (плосконапряжённое состояние) и (3а) для длинного стержня (плоскодеформированное состояние) не приводит к ошибкам. В остальном вывод формул в диске и стержне идентичен и приводит к одной из ориентаций  $[MMN]$  (см. рис.1,е)

$$\alpha = \pi/4 + \pi k/2, \quad (76)$$

$$\tau \alpha v^2 \beta = -\xi^{-1},$$

где  $\xi = \xi_\pi$  в диске и  $\xi = \xi_p$  в стержне. Из этого выражения следует, что при сильной анизотропии упругого тензора критические ориентации в диске и в стержне из одного и того же материала должны заметно различаться.

В упругоанизотропном диске решение [18] работает. Однако, как мы отметили в пп.4.3.4, в стержне нужно пользоваться решением Сиротина, которое не является плоской деформацией (см. пп.4.3.2), поэтому выражение (76) в этом случае неприменимо. Несложно получить, что в рассмотренном в [18] наборе ориентаций  $[MMN]$  ( $\alpha = \pi/4$ ) при  $\Phi = 0$

$$\begin{aligned} \Delta B_{\sigma,xy} &= \pi_{xyyz} \sigma_{yz} + \pi_{xyxy} \sigma_{xy}, \\ \pi_{xyyz} &= \pi_s \sin 2\beta (\xi_\pi - 1)/4, \\ \pi_{xyxy} &= \frac{\pi_s (\cos^2 \beta + \xi_\pi \sin^2 \beta)}{2}, \\ \pi_{xyxx} &= \pi_{xyyy} = \pi_{xyzz} = \pi_{xyxz} = 0. \end{aligned} \quad (77)$$

Можно видеть, что  $\pi_{xyxy}$  обращается в нуль только при условии (76) с  $\xi = \xi_\pi$ , но в этом случае  $\pi_{xyyz} \neq 0$ . Поскольку в решении Сиротина в этих ориентациях  $D_c \neq 0$  (см. рис.3,б) и, следовательно,  $\sigma_{yz} \neq 0$ , в упругоанизотропном случае существование и положение критической ориента-

ции зависят от тензора напряжений. Подставляя (24б) и (31) в (77) и требуя выполнения условия (75), получаем трансцендентное уравнение для угла  $\beta$ :

$$\cos 2\beta - 2D_c(\beta) \sin 2\beta = \frac{\xi_\pi + 1}{\xi_\pi - 1}. \quad (78)$$

Критическую ориентацию в упругоанизотропном стержне, определяемую этим уравнением, мы будем обозначать  $[[C_s]]$ . Поскольку, как следует из выполненного нами сравнения отношений (49), коэффициент  $D_c$  мал по сравнению с аналогичной величиной, полученной из тензора деформаций, то мы ожидаем, что  $[[C_s]]$  слабо отличается от критической ориентации в диске, совпадающей с  $[[C]]$ , и значительно дальше от предсказанного в [18] положения (76) с  $\xi = \xi_p$  (см. вторую часть статьи). Так как в упрощённом решении Сиротина мы этой компонентой тензора напряжений вовсе пренебрегли, то получаемая критическая ориентация совпадает с таковой для диска. В силу того, что в выделенных ориентациях [001], [111] и [011]  $D_c = 0$  (см. П2.6), ориентации  $[[C_s]]$  и  $[[C]]$  совпадают с ними при одних и тех же значениях  $\xi_\pi$  ( $-\infty$ ,  $-0.5$  и  $0$  соответственно). Поскольку две из них ([001] и [011]) являются в упругоизотропном случае пограничными для существования критической ориентации, то и область её определения не меняется при учёте анизотропии упругих свойств.

### 5.2.2. Ориентация $[[C]]$ в $m\bar{3}$ -кристаллах

В  $m\bar{3}$ -, как и в  $m\bar{3}m$ -кристаллах, также может существовать критическая ориентация. В работе [25] нами было показано, что в упругоизотропном приближении ориентация  $[[C]]$  существует при

$$\begin{aligned} \xi < 0, \\ (-\xi - 3)\xi_d^2 < 4(1 - \xi), \end{aligned} \quad (79)$$

а её положение определяется громоздкой системой трансцендентных уравнений. При  $\xi_d \neq 0$  в обозначениях

$$\begin{aligned} X &= \cos 2\alpha \sin^2 \beta, \\ Y &= \cos^2 \beta \end{aligned} \quad (80)$$

нам удалось свести эти уравнения к системе

$$\begin{aligned} 3(\kappa_d Y - q)[q + (2Y - 1)\kappa_d]^2 &= q^2(\kappa_d - 1)[3q + (9Y - 4)\kappa_d], \\ 2X[q + (2Y - 1)\kappa_d] &= q_d q(1 - 3Y), \end{aligned} \quad (81)$$

где

$$q = \xi_\pi / (\xi_\pi - 1); \quad q_d = \xi_d / (\xi_\pi - 1); \quad \kappa_d = 1 + 3q_d^2/4. \quad (82)$$

Система (81) имеет три решения, соответствующие физически эквивалентным друг другу ориентациям общего вида  $[MNP]$ ,  $[NPM]$  и  $[PMN]$ . Численный анализ показал, что за пределами области (79) решения системы (81) комплексны, т. е. ориентации  $[[C]]$  не существует. Заметим, что в вырожденном случае  $m\bar{3}m$ -кристалла ( $\xi_d = 0$ ) система (81) позволяет найти только решение (76), а для двух других корней не определены значения  $X$  и, соответственно, угла  $\alpha$  (эти решения приведены в [25]).

Как и в  $m\bar{3}m$ -кристаллах, в упругоанизотропном диске критическая ориентация совпадает с  $[[C]]$ , а в упругоанизотропном стержне она также совпадает с ней в упрощённом решении и слабо отклоняется ( $[[C_s]]$ ) в точном (см. вторую часть статьи). В последнем случае существование критической ориентации в строгом смысле не доказано, однако при некоторых значениях углов Эйлера в численном расчёте происходит характерное для критической ориентации существенное уменьшение степени деполаризации.

### 5.2.3. Ориентация $[[A]]$ в $m\bar{3}$ -кристаллах

В работе [25] в упругоизотропных  $m\bar{3}$ -кристаллах нами были определены ещё две выделенные ориентации вида  $[M0N]$  (см. рис.1,д)  $[[A]]$  и  $[[B]]$ . В ориентации [001]  $m\bar{3}m$ -кристаллов  $\Psi$  не зависит от  $r$ , поскольку в выражениях (63), (65) и (67)  $A_{1\phi} = B_{1\phi} = 0$  (см. [22] и (П3.2)–(П3.4)). В  $m\bar{3}$ -кристаллах это условие не выполняется из-за ненулевого коэффициента  $A_1$ , который обращается в нуль в ориентации  $[[A]]$ , определяющейся, например, углами Эйлера

$$\alpha = 0, \quad \cos 2\beta = q_d(1 - \sqrt{1 + q_d^{-2}}). \quad (83)$$

В частном случае  $\xi_d = 0$  ориентация  $[[A]]$  совпадает с [001], а при  $|\xi_d| \gg |\xi_\pi - 1|$  ориентация  $[[A]] \rightarrow [101]$ . В упругоанизотропных кристаллах этот расчёт справедлив для диска и в приближении (51) – для стержня. При несоблюдении приближения (51) в стержне вместо  $A_1 = 0$  необходимо требовать, чтобы

$$(2D_1 - 1)A_1 - 2(D_b A_4 + D_c A_5) = 0 \quad (84)$$

(в ориентациях вида  $[M0N]$ ,  $[0MN]$  и т. п.  $A_4$  и  $D_b$  либо  $A_5$  и  $D_c$  всегда обращаются в нуль). Условие (84) выполняется в некоторой ориентации  $[[A_s]]$  также вида  $[M0N]$ , слегка отличающейся от (83).

В работе [25] нами получено, что при слабом двулучепреломлении, а также для большого пробного пучка при сильном двулучепреломлении в  $m\bar{3}$ -кристаллах степень деполаризации, как правило, минимальна в ориентации, близкой к  $[[A]]$  (см. вторую часть статьи). Для простоты изложения, если не указано иное, мы будем этим различием пренебрегать.

### 5.2.4. Ориентация $[[B]]$ в $m\bar{3}$ -кристаллах

Ориентация [011]  $m\bar{3}m$ -кристаллов интересна тем, что угол наклона собственных поляризаций  $\Psi$  в центральной области активного элемента оказывается слабо зависящим от координат, что позволяет получить сравнительно небольшую деполаризацию в режиме сильного двулучепреломления для пучков небольшого радиуса (см. [24] и вторую часть статьи). Степень деполаризации в этом режиме аппроксимируется выражениями (56), (57), зависящими от  $\Psi$  и не зависящими от  $\delta$ .

Угол наклона собственных поляризаций  $\Psi$  в цилиндрических активных элементах в различных приближениях (см. [22, 25], (63), (65), (67)) имеет общий вид

$$\cot 2\Psi = \tilde{A}/\tilde{B}, \quad (85a)$$

где

$$\tilde{A} = \tilde{A}_1 g(r) + (\tilde{A}_2 \cos 2\varphi_\phi + \tilde{A}_3 \sin 2\varphi_\phi) h(r); \quad (85б)$$

$$\tilde{B} = \tilde{B}_1 g(r) + (\tilde{B}_2 \cos 2\varphi_\phi + \tilde{B}_3 \sin 2\varphi_\phi) h(r);$$

при  $r \rightarrow 0$  величина  $h(r) \rightarrow 0$ ,  $g(r) \rightarrow \text{const}$ . Для минимизации степени деполяризации выберем входную поляризацию так, чтобы  $\theta = \Psi(r=0)$ , тогда (57) с учётом (85) будет иметь следующий вид:

$$\gamma_{\infty \text{ loc}} = \frac{(\tilde{A}\tilde{B}_1 - \tilde{B}\tilde{A}_1)^2}{(\tilde{A}^2 + \tilde{B}^2)(\tilde{A}_1^2 + \tilde{B}_1^2)}. \quad (86)$$

Рассмотрим случай малого диаметра пробного пучка, в пределах которого  $h \ll g$ . В первом приближении интегральная степень деполяризации (56) будет такова:

$$\gamma_{\infty} \approx \frac{I_{\infty}}{2 \int_0^R |\mathbf{E}_{\text{in}}|^2 r dr} \int_0^R \frac{h^2}{g^2} |\mathbf{E}_{\text{in}}|^2 r dr, \quad (87)$$

$$I_{\infty} = \frac{(\tilde{A}_2 \tilde{B}_1 - \tilde{B}_2 \tilde{A}_1)^2 + (\tilde{A}_3 \tilde{B}_1 - \tilde{B}_3 \tilde{A}_1)^2}{(\tilde{A}_1^2 + \tilde{B}_1^2)^2}.$$

Поскольку в данном расчёте изменение угла  $\Phi$  компенсируется автоматическим выбором угла  $\theta$ , величина  $I_{\infty}$  зависит только от ориентации кристалла и его упругих и фотоупругих свойств, и мы можем без ограничения общности считать, что  $\Phi = 0$ . В критической ориентации  $I_{\infty}$  по определению обращается в нуль. Численный анализ показывает, что кроме этого  $I_{\infty}$  и вместе с ней  $\gamma_{\infty}$  имеют минимум либо седловую точку в одной из ориентаций вида  $[M0M]$  (см. рис.1,д). В этих ориентациях при  $\Phi = 0$  коэффициент  $\tilde{B}_1 = \tilde{B}_2 = 0$ , поэтому

$$I_{\infty [M0M]} = (\tilde{B}_3^2 / \tilde{A}_1^2) |_{\Phi=0}. \quad (88)$$

В частности, в упругоизотропном приближении и в геометрии тонкого диска

$$I_{\infty [M0M]0} = \xi_{\pi}^2 / A_1^2. \quad (89)$$

Эта величина имеет минимум в искомой ориентации, названной  $[[B]]$ , определяющейся, например, углами Эйлера [25]

$$\begin{aligned} \alpha &= 0, \\ \cos 2\beta &= q_d. \end{aligned} \quad (90)$$

В частном случае  $\xi_d = 0$  (в  $m3m$ -кристалле) ориентация  $[[B]]$  совпадает с  $[101]$ , а если  $|\xi_d| = |\xi_{\pi} - 1|$ , то  $[[B]]$  совпадает с  $[001]$ . Для удобства изложения мы будем говорить, в отличие от [25], что при  $|\xi_d| > |\xi_{\pi} - 1|$  эта ориентация не существует. В данном случае минимум  $I_{\infty [M0M]0}$  достигается в ориентации  $[001]$ .

В работе [25] нами получено, что степень деполяризации для тонкого пробного пучка при сильном двулучепреломлении в  $m3$ -кристаллах, как правило, минимальна в ориентации, близкой к  $[[B]]$  (см. вторую часть статьи). Для простоты изложения, если не указано иное, мы будем этим различием пренебрегать.

При небольших по модулю отрицательных  $\xi_{\pi}$  ориентация  $[[B]]$ , будучи близкой к критической ориентации, является не точкой минимума зависимости степени деполяризации от углов Эйлера ( $\alpha, \beta$ ), а седловой точкой. В частности, в упругоизотропных  $m3m$ -кристаллах это происходит при  $-1/3 < \xi_{\pi} < 0$ .

В случае длинного стержня при соблюдении (51) выражение (88) принимает вид

$$I_{\infty [M0N]s0} = \xi_{\pi}^2 [(2D_{01} - 1)A_1]^{-2}. \quad (91)$$

Подстановка сюда (П3.3) позволяет преобразовать его к

$$I_{\infty [M0N]s0} = G_1^2 / J_{[M0N]s0}^2, \quad W = \cos 2\beta, \quad (92)$$

$$J_{[M0N]s0} = \frac{2q_d W + 1 - W^2}{2 - \eta(1 - W^2)}, \quad \eta = (1 + v_{[001]})(1 - \xi_s),$$

где константа  $G_1$  не зависит от ориентации, а вследствие (38)

$$-\infty < \eta \leq 3/2. \quad (93)$$

В результате исследования функции  $J_{[M0N]s0}(W)$  на экстремум получаем квадратное уравнение. Анализ его корней показывает, что  $I_{\infty [M0N]s0}$  минимальна в ориентации, которую мы назовём  $[[B_{\sim}]]$ , определяющейся, например, углами Эйлера

$$\alpha = 0, \quad (94)$$

$$\cos 2\beta = (\eta q_d)^{-1} \{ [1 - q_d^2 \eta (\eta - 2)]^{1/2} - 1 \},$$

которая с учётом (93) существует при

$$(1 - \eta) |q_d| \leq 1, \quad (95)$$

и совпадает с  $[001]$ , когда (95) обращается в равенство. За пределами области существования  $[[B_{\sim}]]$  величина  $I_{\infty [M0N]s0}$  минимальна в ориентации  $[001]$ . При  $\eta = 0$  ( $\xi_s = 1$ )  $[[B_{\sim}]]$  совпадает с  $[[B]]$ , а в  $m3m$ -кристаллах (при  $q_d = 0$ )  $[[B_{\sim}]]$  совпадает с  $[101]$ .

При сильно анизотропных упругих свойствах условие (51) не выполняется, и среди ряда ориентаций ( $[M0N]$ ,  $[0MN]$  и др.) нужно минимизировать величину

$$I_{\infty [M0N]s} = \xi_{\pi}^2 [(2D_1 - 1)A_1 - 2(D_b A_4 + D_c A_5)]^{-2}. \quad (96)$$

Она имеет минимум в некоторой ориентации  $[[B_s]]$ , немного отличающейся от  $[[B_{\sim}]]$ , если таковая существует, а в противном случае – в ориентации  $[001]$ .

### 5.2.5. Ориентация $[[D]]$ в $m3m$ - и $m3$ -кристаллах

В  $m3m$ -кристаллах величина  $I_{\infty}$  (87) обращается в  $+\infty$  и потому имеет точки максимума в ориентациях  $[001]$  и  $[111]$ . В силу того, что интегральная степень деполяризации в таких кристаллах ориентаций  $[M'M''N]$  и  $[M''M'N]$  одинакова (см. [25]), величина  $I_{\infty}$  должна иметь ещё одну точку минимума либо седловую точку в одной из ориентаций вида  $[MMN]$ , где  $M < N$ . В этих ориентациях аналогично (88)

$$I_{\infty [MMN]m3m} = (\tilde{B}_3^2 / \tilde{A}_1^2) |_{\Phi=0}. \quad (97)$$

В частности, в упругоизотропном приближении и в геометрии тонкого диска

$$I_{\infty [MMN]m3m0} = 16/J_{[MMN]0}^2, \quad (98a)$$

где

$$J_{[MMN]0} = \frac{(1-Y)(1-3Y)}{Y-q}, \quad (98b)$$

величина  $Y$  определена в (80). Знаменатель  $J_{[MMN]0}$  обращается в нуль в ориентации  $[[C]]$ . Исследование функции  $J_{[MMN]0}(Y)$  на другие экстремумы, так же как и в случае с  $J_{[M0N]s0}(Y)$ , сводится к квадратному уравнению. Анализ его корней показывает, что  $I_{\infty [MMN]m3m0}$  минимальна в ориентации, которую мы назовём  $[[D]]$ , определяющейся углами Эйлера

$$\begin{aligned} \alpha &= \pi/4 + \pi k/2, \\ \cos^2 \beta &= \frac{\xi_{\pi} - [(2\xi_{\pi} + 1)/3]^{1/2}}{\xi_{\pi} - 1}. \end{aligned} \quad (99)$$

Эта ориентация существует при  $\xi_{\pi} > -1/2$  и является точкой минимума величины  $I_{\infty}(\alpha, \beta)$  при  $\xi_{\pi} > \xi_{0[[D]]}$ , где  $\xi_{0[[D]]} \approx 1.65$ , а при меньших значениях – седловой точкой. Величина  $I_{\infty}$  в ориентации  $[[D]]$  становится меньше, чем в  $[011]$ , при  $\xi_{\pi} > \xi_{[[D]]}$ , где  $\xi_{[[D]]} \approx 10$ . В этой области ориентация  $[[D]]$  может быть лучше, чем  $[011]$ , при сильном двулучепреломлении. В диске при  $\xi_{\pi} < 0$  для минимизации степени деполяризации лучше использовать ориентацию  $[[C]]$ , в стержне необходимо принять во внимание важное ограничение, рассмотренное в конце второй части статьи.

В длинном стержне с анизотропной упругостью при наблюдении (51) выражение (88) принимает вид

$$I_{\infty [MMN]m3ms0} = B_3^2[(2D_{01} - 1)A_1]^{-2}. \quad (100)$$

Подстановка сюда (П3.3) позволяет преобразовать его к

$$I_{\infty [MMN]m3ms0} = G_2^2/J_{[MMN]s0}^2, \quad (101a)$$

где

$$J_{[MMN]s0} = [1 - (1 - Y)(1 + 3Y)\eta/2]J_{[MMN]0}; \quad (101b)$$

константа  $G_2$  не зависит от ориентации. Условие экстремума  $J_{[MMN]s0}(Y)$  сводится к уравнению 4-й степени общего вида. Ориентацию, в которой эта величина имеет минимум, назовём  $[[D_{\sim}]]$ . Поскольку в приближении (51)  $\eta \ll 1$ , мы ожидаем, что эта ориентация будет близка к  $[[D]]$ . Наконец, при сильно анизотропных упругих свойствах среди ориентаций  $[MMN]$  надо минимизировать величину

$$I_{\infty [MMN]s} = \left[ \frac{B_3 + 2D_c B_4}{(2D_1 - 1)A_1 - 2D_c A_5} \right]^2. \quad (102)$$

Численный расчёт показал, что она имеет минимум в некоторой ориентации  $[[D_s]]$ , смещённой относительно  $[[D]]$  и  $[[D_{\sim}]]$ .

Численный анализ степени деполяризации  $\gamma_{\infty}$  в упругоизотропном приближении показал, что ориентация  $[[D]]$  является наилучшей в двух случаях. Во-первых, при  $\xi > 10$  и очень малом радиусе пробного пучка (примерно

$0.2R$  или меньше для прямоугольного профиля) выигрыш в степени деполяризации по сравнению с  $[011]$  может быть существенным; при увеличении радиуса пробного пучка  $[011]$  становится предпочтительнее. Во-вторых, существует узкий диапазон,  $1.2 < \xi < 1.7$ , в котором ориентация, близкая к  $[[D]]$ , но не совпадающая с ней, незначительно лучше ориентаций  $[011]$  и  $[001]$  для пучков радиусом около  $0.5R$ .

Таким образом, условия, в которых использование ориентации  $[[D]]$  выгодно, очень специфичны, поэтому практическое применение кристаллов этой ориентации маловероятно. В связи с этим в расчётах во второй части статьи ориентация  $[[D]]$  использоваться не будет.

В  $m3$ -кристаллах поиск ориентации  $[[D]]$  значительно осложнён тем, что она, как и  $[[C]]$ , является ориентацией общего вида  $[MNP]$ , и ввиду малой практической ценности этой ориентации аналитически он не проводился. Численный анализ величины  $I_{\infty}$  показывает, что ориентация  $[[D]]$ , как и  $[[C]]$ , исчезает при превышении параметром  $|\xi_d|$  некоторого критического уровня, сливаясь либо с  $[[B]]$ , либо с  $[001]$ .

Таким образом, в геометрии тонкого диска выделенные ориентации  $[[A]]$ ,  $[[B]]$ ,  $[[C]]$  и  $[[D]]$ , не связанные с элементами симметрии кристалла, совпадают с ориентациями в упругоизотропном материале. В геометрии длинного стержня в приближении слабой анизотропии отличаются ориентации  $[[B]]$  и  $[[D]]$ , а при сильной анизотропии – все четыре ориентации. Для удобства читателя номера формул, характеризующих эти выделенные ориентации, приведены в табл.2.

### 5.3. Определение эффективных значений термооптических постоянных $Q$ и $P$ в различных ориентациях кристалла

В работах по измерению термонаведённого двулучепреломления в оптических средах величина  $Q$  часто используется не только и не столько в смысле определения (16), сколько как материальная константа, характеризующая величину степени деполяризации в монокристаллах отдельных ориентаций и в керамике [48, 64]. Рассмотрим такое применение подробнее.

#### 5.3.1. Термооптическая постоянная $Q$

Из (53) следует, что локальная ( $\Gamma$ ), а вслед за ней и интегральная ( $\gamma$ ) степени деполяризации являются периодическими функциями угла наклона поляризации пробного пучка  $\theta$  с периодом  $\pi/2$ . Следовательно,  $\gamma$  периодична и по углу поворота кристалла  $\Phi$  относительно оси  $z$  с тем

Табл.2. Выделенные ориентации кубических кристаллов, не связанные с элементами их симметрии.

Симметрия	Изотропная упругость или тонкий диск	Длинный стержень при слабой анизотропии	Длинный стержень при произвольной анизотропии
m3	$[[A]]$ (83)	$[[A]]$ (83)	$[[A_s]]$ (84)
	$[[B]]$ (90)	$[[B_{\sim}]]$ (94), (95)	$[[B_s]]$ (96)
	$[[C]]$ (79), (81)	$[[C]]$ (79), (81)	$[[C_s]]$ –
	$[[D]]$ –	$[[D_{\sim}]]$ –	$[[D_s]]$ –
m3m	$[[C]]$ (76), $\xi = \xi_{\pi}$	$[[C]]$ (76), $\xi = \xi_{\pi}$	$[[C_s]]$ (78)
	$[[D]]$ (99)	$[[D_{\sim}]]$ (101)	$[[D_s]]$ (102)



же периодом. Интегральная степень деполяризации при слабом двулучепреломлении в частном случае  $\theta = 0$  в упругоизотропном случае для  $m3m$ -кристалла ориентации  $[001]$  ( $\alpha = 0, \beta = 0$ ) имеет экстремумы при  $\Phi = 0$  и  $\pi/4$ , при этом квадратичная по мощности тепловыделения аппроксимация локальной степени деполяризации

$$\Gamma_0 = \frac{1}{4}(\delta \sin 2\Psi)^2 \quad (103)$$

такова:

$$\Gamma_{0\ m3m}([001], \Phi = \pi/4) = Q^2/(4\lambda\kappa)^2 P_{\xi}^2 u^2 \sin^2 2\varphi, \quad (104)$$

$$\Gamma_{0\ m3m}([001], \Phi = 0) = \xi^2 \Gamma_{0\ m3m}([001], \Phi = \pi/4).$$

Она зависит от параметров среды  $Q/\kappa$  и  $\xi$  (напомним, что  $Q$  различна в диске и в стержне). Чтобы привести к такому же виду степень деполяризации при слабом двулучепреломлении в ориентации  $[111]$ , которая при любом  $\Phi$  есть

$$\Gamma_{0\ m3m}([111]) = \left(\frac{Q}{4\lambda\kappa} \frac{1+2\xi}{3}\right)^2 P_{\xi}^2 u^2 \sin^2 2\varphi, \quad (105)$$

вводят величины [48]

$$Q_{[111]m3m\ iso}^{eff} = \frac{(1+2\xi)Q}{2}, \quad (106)$$

$$\xi_{[111]m3m\ iso}^{eff} = 1.$$

В других ориентациях  $m3m$ -кристаллов ввести эти величины в общем случае невозможно, поскольку степень деполяризации не удаётся свести к виду (104) для двух значений  $\Phi$ , различающихся на  $45^\circ$  (см. теорему 4 в [22]).

В упругоанизотропном случае для приведения степени деполяризации к виду (104) в ориентации  $[001]$   $m3m$ -кристалла необходимо ввести

$$Q_{[001]m3m}^{eff} = Q/Z([001]), \quad (107)$$

$$\xi_{[001]m3m}^{eff} = \xi_{\pi},$$

где  $Q$  и  $Z$  различны в диске и стержне. Формула для стержня была получена в [65]. В  $m3$ -кристаллах аналогом ориентации  $[001]$  является ориентация  $[[A]]$ , в которой

$$Q_{[[A]]}^{eff} = A_{2[[A]]} Q/Z([[A]]), \quad (108)$$

$$\xi_{[[A]]}^{eff} = \xi_{\pi}/A_{2[[A]]},$$

$$A_{2[[A]]} = 1 - \frac{1}{2}(1 - \xi_{\pi})(\sqrt{q_d^4 + q_d^2} - q_d^2).$$

В частном случае  $\xi_d = 0$  ориентация  $[[A]]$  совпадает с  $[001]$ , а  $A_{2[[A]]} = 1$ . Если  $|\xi_d| \gg |\xi_{\pi} - 1|$ , то  $[[A]] \rightarrow [101]$ , а  $A_{2[[A]]} \rightarrow (\xi_{\pi} + 3)/4$ . При несоблюдении приближения (51) в стержне значения  $Q^{eff}$  и  $\xi^{eff}$ , соответствующие ориентации  $[[A_s]]$ , будут отличаться от рассчитываемых по формуле (108).

В ориентации  $[111]$  при слабом двулучепреломлении и любом  $\Phi$  степень деполяризации имеет вид

Табл.3. Формулы для параметров  $Q^{eff}$  и  $\xi^{eff}$ .

Ориентация	$\xi_s = 1, m3m$	$\xi_s = 1, m3$	$m3m$	$m3$
$[001]$	$Q, \xi$	–	(107)	–
$[[A]]$	$\equiv [001]$	(108) при $Z = 1$	$\equiv [001]$	(108)
$[111]$	(106)	(111) при $Z = 1$	(111) при $\xi_d = 0$	(111)

Примечание. В длинном стержне формулы для ориентации  $[[A]]$  справедливы в приближении (51).

$$\Gamma_0([111]) = \left(\frac{Q}{4\lambda\kappa}\right)^2 \frac{P_{\xi}^2}{Z([111])^2} \times \left[\left(\frac{1+2\xi_{\pi}}{3}\right)^2 + \frac{\xi_d^2}{12}\right] u^2 \sin^2 2(\varphi \pm \chi_d), \quad (109)$$

где

$$\tan 2\chi_d = \sqrt{3} \xi_d / (2 + 4\xi_{\pi}), \quad (110)$$

а выбор знака зависит от того, какая из восьми эквивалентных ориентаций ( $[111]$ ,  $[1\bar{1}\bar{1}]$ ,  $[\bar{1}\bar{1}1]$  и т.д.) выбрана. Это выражение не может быть приведено к виду (104), но максимально похоже на него при

$$Q_{[111]}^{eff} = \left[\left(\frac{1+2\xi_{\pi}}{3}\right)^2 + \frac{\xi_d^2}{12}\right]^{1/2} \frac{Q}{Z([111])}, \quad (111)$$

$$\xi_{[111]}^{eff} = 1,$$

отличаясь только ненулевым значением  $\chi_d$ .

Отметим, что между двумя противоположными по знаку значениями  $\xi_d$  не существует физической разницы, поскольку при повороте кубического кристалла с параметрами  $(\xi_{\pi}, \xi_d, \xi_s)$  на  $\pm 90^\circ$  относительно любого из направлений  $[001]$ ,  $[010]$  и  $[100]$  после переобозначения кристаллографических осей мы получим кристалл с  $(\xi_{\pi}, -\xi_d, \xi_s)$ .

Для удобства читателя все частные случаи, в которых можно ввести  $Q^{eff}$  и  $\xi^{eff}$ , сведены в табл.3. Отметим, что ввести эти величины в произвольной ориентации возможно, например, в схеме с противовращением [66], однако они не будут сводиться к рассмотренным здесь (в частности, они не будут зависеть от  $\xi_d$ ) и не будут иметь смысла для одиночного активного элемента.

### 5.3.2. Термооптическая постоянная $P$

Из-за множителя  $1/Z$ , присутствующего в фотоупругих слагаемых набегов фазы в (63), (65) и (67), но отсутствующего в слагаемых, отвечающих за  $\partial n/\partial T$ , термооптическую постоянную  $P$  в случае анизотропии упругих свойств не удаётся ввести в виде, аналогичном (15), как материальный параметр, позволяющий компактизировать запись выражений для  $\delta_0$ , как это сделано, например, в [30, 32, 33, 35, 48]. Можно определить  $P^{eff}$ , зависящую от ориентации, по формуле (12), но, как и в упругоизотропных  $m3m$ -кристаллах [64], лишь для двух ориентаций, в которых  $\delta_0$  аксиально-симметрична – в данном случае для  $[111]$  и  $[[A]]$ . Последняя отличается от  $[[A]]$  (83) знаком  $q_d$  и аналогично ей в случае  $m3m$ -кристалла тождественна  $[001]$ , а в случае стержня из  $m3$ -кристалла определена аналитически только в приближении (51). Чтобы определить  $P^{eff}$  для произвольной ориентации, обобщим выражение

(12), усреднив показатели преломления по полярному углу:

$$\int_0^{2\pi} [n_I(r) + n_{II}(r)] d\varphi / (4\pi) = n(0) + [T(r) - T(0)] P^{\text{eff}}. \quad (112)$$

Величину, которая получается при включении в  $P^{\text{eff}}$  слагаемого, отвечающего за изменение длины активного элемента (см. [11, 16]), обозначим  $P^{\text{tot}}$ . Она определяется выражением

$$\int_0^{2\pi} \delta_0(r) d\varphi / (2\pi) = \delta_0(0) + k_0 L [T(r) - T(0)] P^{\text{tot}}. \quad (113)$$

В длинном стержне в пренебрежении концевыми эффектами  $P^{\text{eff}}$  и  $P^{\text{tot}}$  идентичны.

Используя (63), (65) и (67), для произвольной ориентации получим

$$\begin{aligned} P_{\text{disk}}^{\text{eff}} &= \beta_\sigma + \frac{Q_{\text{disk}}}{Z_{\text{disk}}} (1 + 2\zeta_\pi + F_1), \\ P_{\text{disk}}^{\text{tot}} &= P_{\text{disk}}^{\text{eff}} + \alpha_T (n_0 - 1) \left( 1 + \frac{\nu_{[001]}}{Z_{\text{disk}}} + \frac{1 + \nu_{[001]}}{Z_{\text{disk}}} F_{1s} \right), \\ P_{\text{rod}}^{\text{eff}} &= \beta_\sigma + \frac{Q_{\text{rod}}}{Z_s} [1 + 4\zeta_\pi + 2\zeta_\pi (D_1 - 1) \\ &\quad - (2D_1 - 1)F_1 + 2(D_b F_4 + D_c F_5)] \\ &\approx \beta_\sigma + \frac{Q_{\text{rod}}}{Z_0} [1 + 4\zeta_\pi + 2\zeta_\pi (D_{01} - 1) - (2D_{01} - 1)F_1]. \end{aligned} \quad (114)$$

Отметим, что в этом выражении от  $\xi_d$  зависят только коэффициенты  $F_4$  и  $F_5$ . В выделенных ориентациях выражение (114) может быть упрощено. В частности, в ориентации [001]

$$\begin{aligned} P_{\text{disk}}^{\text{eff}} &= \beta_\sigma + \frac{Q_{\text{disk}}}{Z_{\text{disk}}} (1 + 2\zeta_\pi), \\ P_{\text{disk}}^{\text{tot}} &= P_{\text{disk}}^{\text{eff}} + \alpha_T (n_0 - 1) \left( 1 + \frac{\nu_{[001]}}{Z_{\text{disk}}} \right), \\ P_{\text{rod}}^{\text{eff}} &= \beta_\sigma + \frac{Q_{\text{rod}}}{Z_s} \left( 1 + 4\zeta_\pi + \zeta_\pi \frac{\xi_s - 1}{2} \right); \end{aligned} \quad (115a)$$

в ориентации [011]

$$\begin{aligned} P_{\text{disk}}^{\text{eff}} &= \beta_\sigma + \frac{Q_{\text{disk}}}{Z_{\text{disk}}} \left( 1 + 2\zeta_\pi + \frac{\xi_\pi - 1}{4} \right), \\ P_{\text{disk}}^{\text{tot}} &= P_{\text{disk}}^{\text{eff}} + \alpha_T (n_0 - 1) \left( 1 + \frac{\nu_{[001]}}{Z_{\text{disk}}} + \frac{1 + \nu_{[001]}}{Z_{\text{disk}}} \frac{\xi_s - 1}{4} \right), \\ P_{\text{rod}}^{\text{eff}} &= \beta_\sigma + \frac{Q_{\text{rod}}}{Z_s} \left[ 1 + 4\zeta_\pi + 2\zeta_\pi (D_{[011]} - 1) \right. \\ &\quad \left. - (2D_{[011]} - 1) \frac{\xi_\pi - 1}{4} \right]; \end{aligned} \quad (115b)$$

в ориентации [111]

$$P_{\text{disk}}^{\text{eff}} = \beta_\sigma + \frac{Q_{\text{disk}}}{Z_{\text{disk}}} \left( 1 + 2\zeta_\pi + \frac{\xi_\pi - 1}{3} \right),$$

$$P_{\text{disk}}^{\text{tot}} = P_{\text{disk}}^{\text{eff}} + \alpha_T (n_0 - 1) \left( 1 + \frac{\nu_{[001]}}{Z_{\text{disk}}} + \frac{1 + \nu_{[001]}}{Z_{\text{disk}}} \frac{\xi_s - 1}{3} \right), \quad (115b)$$

$$P_{\text{rod}}^{\text{eff}} = \beta_\sigma + \frac{Q_{\text{rod}}}{Z_s} \left[ 1 + 4\zeta_\pi + \zeta_\pi \frac{\xi_s - 1}{3} - (2 + \xi_s^{-1}) \frac{\xi_\pi - 1}{9} \right].$$

В этих выражениях для расчёта  $Z_{\text{disk}}$  нужно использовать (39), а для  $Z_s$  – (П2.6). В ориентациях [[A]], [[A']], [[B]] и [[B~]], а также в m3m-кристаллах в ориентациях [[C]] и [[D]] выражения для  $P^{\text{eff}}$  и  $P^{\text{tot}}$  получаются (в стержне подразумевается приближение (51)) подстановкой в (114) в качестве множителя  $f_1$  в функции  $F_1$ ,  $F_{1s}$ ,  $Z_{\text{disk}}$  и  $D_{01}$  величин

$$f_{1[[A]]} = f_{1[[A']]} = \frac{1}{2} q_d^2 (1 - \sqrt{1 + q_d^{-2}}),$$

$$f_{1[[B]]} = -\frac{1}{4} (1 - q_d^2),$$

$$f_{1[[B~]]} = [1 - q_d^2 \eta (\eta - 1) - \sqrt{1 - q_d^2 \eta (\eta - 2)}] / (2q_d^2 \eta^2), \quad (116)$$

$$f_{1[[C]]m3m} = \left( \xi_\pi - \frac{1}{4} \right) / (1 - \xi_\pi)^2,$$

$$f_{1[[D]]m3m} = \frac{3\xi_\pi - (2\xi_\pi + 1)^{3/2} / \sqrt{3}}{2(1 - \xi_\pi)^2}$$

соответственно.

В уругоизотропных средах (114) упрощается до известных выражений [30, 32, 33, 35, 48]

$$P_{\text{disk}}^{\text{eff}} = P_{\text{disk}} + Q_{\text{disk}} F_1,$$

$$P_{\text{disk}}^{\text{tot}} = P_{\text{disk}}^{\text{eff}} + \alpha_T (n_0 - 1) (1 + \nu_{[001]}), \quad (117)$$

$$P_{\text{rod}}^{\text{eff}} = P_{\text{rod}} - Q_{\text{rod}} F_1,$$

где  $P_{\text{disk}}$  и  $P_{\text{rod}}$  определены в (15).

## 6. Заключение

В настоящей работе изучены термонаведённые искажения пучка в цилиндрических активных элементах в форме длинного стержня и тонкого диска из монокристаллов кубической сингонии всех групп симметрии с анизотропным тензором упругой жёсткости при однородной по объёму накачке и боковом теплоотводе. Показано, что описание фотоупругого эффекта с помощью пьезооптического тензора предпочтительнее описания через уругооптический тензор. Сделан обзор существующих аналитических решений задач теплопроводности и упругости в анизотропных средах произвольной симметрии. В длинном стержне из кубического кристалла сделан выбор между двумя решениями задачи упругости в пользу решения, не соответствующего плоской деформации; при слабой анизотропии тензора упругой жёсткости найдено упрощённое решение задачи упругости.

При произвольной ориентации кристаллографических осей рассчитаны среднее арифметическое и разность термонаведённых набегов фаз собственных поляризации, а также угол наклона этих поляризации. Введена выделенная ориентация [[D]]. Показано, что выделенные ориентации [[A]], [[B]], [[C]] и [[D]], не связанные с элементами симметрии кристалла, в диске из уругоанизотропного крис-

талла такие же, как и в упругоизотропном приближении. В стержне в приближении слабой анизотропии тензора упругой жёсткости от них отличаются ориентации  $[[B]]$  и  $[[D]]$ , а при сильной анизотропии – все четыре ориентации. Найдены эффективные значения термооптической постоянной  $Q$  в двух выделенных ориентациях ( $[[A]]$  и  $[[11]]$ ). Определение эффективного значения термооптической постоянной  $P$  было обобщено, его величина найдена в произвольной ориентации.

Работа выполнена при финансовой поддержке Минобрнауки РФ, проект № 075-02-2018-183 (уникальный идентификатор RFMEFI60718X0201).

## Приложение 1

В данном приложении приведён обзор способов записи фотоупругой добавки к диэлектрическому тензору, используемых в литературе. В книге [5] термооптика не рассматривается, а закон Гука в главах, посвящённых упругим свойствам кристаллов и фотоупругому эффекту, записывается без температурного слагаемого:

$$u_{kl} = s_{ijmn} \sigma_{kl} \quad (\text{П1.1})$$

(формула (6) присутствует в главе, посвящённой термодинамике состояний равновесия в кристаллах). В статье [7], посвящённой длинным стержням из стёкол, используются обе формы записи (3), а переход между ними осуществляется корректно: вводятся обе производные  $\partial n/\partial T$ . В работах [9, 10] используются  $(\partial n/\partial T)_\sigma$  и (3б); в [10] получено выражение (15б), и оно непосредственно следует из формул статьи [9]. В работе [11] для тонкого диска из стекла также используется выражение (3б), а  $\partial n/\partial T$  не конкретизируется, выражение (15а) может быть получено из приведённых в [11] формул. Joiner с соавторами [18, 19] в силу специфики задачи (от  $\partial n/\partial T$  их результат не зависит, см. пп.5.2.1) используют (3а) для стержня и (3б) – для диска.

В работе [4], посвящённой стержням из Nd:YAG в ориентации [111], различаются понятия термической деформации ( $\mathbf{u}$ , thermal strain) и упругой деформации ( $\mathbf{u}' = \mathbf{u} - \alpha T$ , elastic strain). В законе Гука (6) при этих довольно необычных обозначениях не содержится температурный член, и он имеет вид (П1.1) с точностью до замены  $\mathbf{u}$  на  $\mathbf{u}'$ . Авторы [4] описывают фотоупругий эффект выражением  $\Delta \mathbf{B} = \rho \mathbf{u}'$ , что с учетом (4) и модифицированной формулы (П1.1) эквивалентно (3б) с точностью до не используемой ими константы  $T_0$ , но приводит к более громоздким выражениям для набега фазы, из которых следует (18). Для  $\partial n/\partial T$  используется двусмысленная характеристика, «не включающая какие-либо деформационные эффекты».

В обзоре [8] используется формула (3а). Значение  $\partial n/\partial T$  не конкретизируется, закон Гука записан в форме (П1.1), тензор  $\mathbf{u}$ , в отличие от [4], называется просто деформацией без каких-либо пояснений. Несмотря на это, выражения для фазовых набегов как в стержне, так и в диске из стекла соответствуют формуле (18). Формулы для радиальной зависимости тензора  $\mathbf{u}'$ , идентичные приведённым в [4], использует для Nd:YAG-стержней Koeschner в [12], также заимствуя измеренное в [4] значение  $\partial n/\partial T$ , но сам тензор он тоже называет просто деформацией. Те же формулы используются им с соавтором в [3], причём тензор  $\mathbf{u}'$  они называют упругой деформацией в приложении к статье и просто деформацией в основной ее части. Формулы из [3, 4, 12] для показателей преломления собственных

волн в стержнях, сводящиеся к (18), приведены в классической книге [1], в которой тензор  $\mathbf{u}'$  также называется просто деформацией, а выражений для него не приводится, равно как и закона Гука (6) либо (П1.1) (мы просмотрели все шесть изданий с 1976 по 2006 гг.). Тезис о том, что закон Гука в книге [1] записан неверно, а именно в форме (П1.1) с отсутствующим температурным членом, приведённый в приложении к [67] и позже повторенный в [50] в отношении как книги, так и статьи того же автора [13], по-видимому, ошибочен (в [67] приведены конкретные номера формул, якобы содержащих ошибки, но схема нумерации не соответствует принятой ни в одном из изданий книги). Однако мы считаем, что причиной возникшей путаницы явилась неаккуратность автора книги в обращении с определениями физических величин.

В статье [16] используется  $(\partial n/\partial T)_\sigma$ , но выражения для  $P$  как в стержне, так и в диске из кубического кристалла приводятся в виде (14), получаемом с использованием формулы (3а). В книге [2] приводится физическая модель, описывающая температурное изменение показателя преломления в среде в изотропном приближении. В этой модели присутствуют как слагаемое, связанное с температурным сдвигом резонансных частот среды (и представляющее собой вклад  $(\partial n/\partial T)_u$ ), так и слагаемые, зависящие от плотности и пропорциональные коэффициенту теплового расширения, т. е., формирующие  $\Delta \chi_T$ . Далее при описании фотоупругого эффекта делается неверное утверждение, что выражение (3б) описывает зависимость индикатрисы показателя преломления от плотности и потому обобщает соответствующее слагаемое в рассмотренной модели. (Ошибочность этого утверждения следует, к примеру, из мысленного эксперимента, в котором равномерно нагретое тело сжимается со всех сторон внешними силами так, что его размеры и, следовательно, плотность равны первоначальным. При этом поле напряжений, а следовательно, и тензор (3б), в таком теле, очевидно, будет ненулевым.) В результате в выражении для приращения показателя преломления в [2] соседствуют  $(\partial n/\partial T)_u$  и (3б). Затем (3б) заменяется на (3а) (очевидно, с использованием неправильной формулы (П1.1)), в результате чего формула по случайности вновь становится верной и соответствующей выражению (10а). Для термооптической постоянной  $P$  приводятся оба выражения, (14б) и (15б), с одинаковыми значениями  $\beta$ , а потому противоречащие друг другу.

В [39] используется (3б), а значение  $\partial n/\partial T$  не конкретизируется. В ряде недавних работ [30, 32, 68] используется (3а), а  $\partial n/\partial T$  также не конкретизируется. В [22, 27] также используется (3а), но тепловая линза не исследуется. В обзоре [50] авторы вначале определяют изменение показателя преломления через комбинацию (3а) с  $(\partial n/\partial T)_u$ . Затем они замечают, что  $(\partial n/\partial T)_u$  гораздо сложнее измерить, чем  $(\partial n/\partial T)_\sigma$ , и строят модель температурного изменения показателя преломления, похожую на приведённую в [2], но эта модель также требует ряда допущений о симметрии среды и, как отмечают авторы, не позволяет свести разность двух значений  $\partial n/\partial T$  к легко измеримым физическим величинам. Мы считаем, что обе эти модели в прикладных задачах термоупругости не имеют явных преимуществ по сравнению с предлагаемым в [46, 47] феноменологическим подходом (см. (7), (11)), тем более что в [46] говорится о неадекватности расчётов по модели [50] для YAG.

Следует также отметить, что из всех перечисленных выше работ  $\partial n/\partial T$  имеет вид частной производной только

в [7, 9, 16, 39, 46, 47, 50, 67], в остальных статьях записана полная производная, что дополнительно маскирует проблему правильного выбора формы записи фотоупругих слагаемых.

## Приложение 2

В данном приложении приводятся найденные в [36] выражения для коэффициентов  $\tilde{a}_s, \tilde{b}_s, \tilde{c}_s, \tilde{d}_s$  формулы (31). Аналогично этой работе введём матрицы, получаемые из тензоров упругой податливости и теплового расширения (тензорами эти величины не являются):

$$n_{ijkl} = s_{ijkl} - s_{zzzz}^{-1} s_{ijzz} s_{zzkl}, \quad (П2.1)$$

$$\gamma_{Tij} = \alpha_{Tij} - s_{zzzz}^{-1} s_{ijzz} \alpha_{Tzz},$$

где  $i, j, k, l$  принимают значения  $x, y, z$ , и обозначим

$$\begin{aligned} K &= 2n_{xyyz}, \\ K_x &= 3n_{yzyz} + n_{xzzz}, \\ K_y &= n_{yzyz} + 3n_{xzzz}, \\ Q_x &= 3n_{xxxz} + 2n_{xyyz} + n_{yyxz}, \\ Q_y &= 3n_{yyyz} + 2n_{xyxz} + n_{xxyy}, \\ \Delta &= K_x K_y - K^2, \\ D &= 3n_{xxxx} + 3n_{yyyy} + 2n_{xxyy} + 4n_{xyxy}. \end{aligned} \quad (П2.2)$$

Тогда

$$\tilde{a}_s = 4 \frac{\Delta(\gamma_{Txx} + \gamma_{Tyy}) + (KQ_y - K_x Q_x) \gamma_{Txx} + (KQ_x - K_y Q_y) \gamma_{Tyy}}{D\Delta + 2KQ_x Q_y - K_x Q_x^2 - K_y Q_y^2},$$

$$\begin{aligned} \tilde{b}_s &= \Delta^{-1} [(KQ_x - K_y Q_y) \tilde{a}_s - 4K\gamma_{Txx} + 4K_y \gamma_{Tyy}], \\ \tilde{c}_s &= \Delta^{-1} [(KQ_y - K_x Q_x) \tilde{a}_s - 4K\gamma_{Tyy} + 4K_x \gamma_{Txx}], \end{aligned} \quad (П2.3)$$

$$\tilde{d}_{s1} = 2s_{zzzz}^{-1} [2\alpha_{Tzz} - \tilde{a}_s (s_{xzzz} + s_{yyzz}) - \tilde{b}_s s_{yzzz} - \tilde{c}_s s_{xzzz}],$$

$$\tilde{d}_{s2} = 2s_{zzzz}^{-1} [\tilde{a}_s (s_{xzzz} - s_{yyzz}) - \tilde{b}_s s_{yzzz} + \tilde{c}_s s_{xzzz}],$$

$$\tilde{d}_{s3} = 2s_{zzzz}^{-1} [2\tilde{a}_s s_{xyzz} + \tilde{b}_s s_{xzzz} + \tilde{c}_s s_{yzzz}].$$

В частном случае кубического кристалла выражения (П2.1)–(П2.3) при произвольной ориентации не удаётся, к сожалению, существенно упростить, несмотря на значительное упрощение материальных тензоров в кристаллографической системе координат. В ориентациях  $[M0N]$  ( $\alpha = 0$ ) и  $[MMN]$  ( $\alpha = \pi/4$ ) тензор  $s$  в системе координат  $(x'', y'', z)$  имеет упрощённый вид, благодаря чему

$$K = 0, \quad \Delta = K_x K_y, \quad (П2.4)$$

$$Q_y = 0, \quad \gamma_{Tyz} = 0,$$

и (П2.3) удаётся сократить: в частности, с учётом переобозначений (42), (43), (45)

$$D_3 = D_b = D_c = 0. \quad (П2.5)$$

При этом решение все равно остаётся сложным для аналитического анализа его зависимости от ориентации.

В простейших ориентациях –  $[001]$  ( $\alpha = 0, \beta = 0$ ),  $[011]$  ( $\alpha = \pi/2, \beta = -\pi/4$ ) и  $[111]$  ( $\alpha = \pi/4, \tan^2 \beta = 2$ ) – коэффициенты (П2.3) приводятся к виду

$$D_3 = D_b = D_c = 0,$$

$$a_{s[001]} = [(s_{11} + s_{12}) + s_{11}(\xi_s - 1)/4]^{-1},$$

$$D_{1[001]} = (3 + \xi_s)/4,$$

$$D_{2[001]} = 0,$$

$$a_{s[011]} = \frac{4(1 + 3\xi_s)}{(15\xi_s + 1)s_{11} + 8(\xi_s + 1)s_{12} + 2(\xi_s - 1)(s_{11} - s_{12})}, \quad (П2.6)$$

$$D_{1[011]} = 1 + \frac{1 - \xi_s}{1 + 3\xi_s} \frac{s_{12} + s_{66}/2}{2s_{11} + 2s_{12} + s_{66}},$$

$$D_{2[011]} = \frac{(1 - \xi_s)(s_{11} - s_{12})}{2s_{11} + 2s_{12} + s_{66}},$$

$$a_{s[111]} = \frac{18\xi_s}{4\xi_s^2 (s_{11} - s_{12}) + \xi_s (13s_{11} + 20s_{12}) + s_{11} + 2s_{12}},$$

$$D_{1[111]} = (5 + \xi_s^{-1})/6,$$

$$D_{2[111]} = 0$$

(выражения для  $a_s, D_b$  и  $D_c$  были получены непосредственно из формул работы [36]). Отметим, что коэффициент  $D_{2[011]}$  может входить в выражения (65), (70) с разным знаком: в ориентации  $[101]$  ( $\alpha = 0, \beta = -\pi/4$  или  $\alpha = \pi, \beta = \pi/4$ )  $D_2 = D_{2[011]}$ , а в ориентации  $[110]$  ( $\alpha = \pi/4, \beta = -\pi/2$  или  $\alpha = 5\pi/4, \beta = \pi/2$ )  $D_2 = -D_{2[011]}$ .

## Приложение 3

Здесь приведены коэффициенты, используемые в формулах (41), (51), (63), (65), (67):

$$F_1(\xi) = (1 - \xi)f_1 = (1 - \xi)(a_3 + b_3 - 1),$$

$$F_2(\xi, \xi') = (1 - \xi)a_1 - \xi'a_2, \quad (П3.1)$$

$$F_3(\xi, \xi') = (1 - \xi)b_1 - \xi'b_2,$$

$$A_{i\Phi} = A_i \cos 2\Phi + B_i \sin 2\Phi, \quad (П3.2)$$

$$B_{i\Phi} = B_i \cos 2\Phi - A_i \sin 2\Phi,$$

$$A_1(\xi, \xi') = (1 - \xi)a_1 + \xi'a_2, \quad B_1(\xi, \xi') = (1 - \xi)b_1 + \xi'b_2,$$

$$A_2(\xi) = \xi + (1 - \xi)a_3, \quad B_2(\xi, \xi') = (1 - \xi)c_1 + \xi'c_2, \quad (П3.3)$$

$$A_3(\xi, \xi') = (1 - \xi)c_1 - \xi'c_2, \quad B_3(\xi) = \xi + (1 - \xi)b_3,$$

причём коэффициенты с дополнительным нижним индексом «s» должны быть вычислены при  $\xi = \xi_s, \xi' = 0$ , коэффициенты без этого индекса – при  $\xi = \xi_\pi, \xi' = \xi_d$ . В этих выражениях

$$a_1 = \frac{1}{4} [\sin^2 2\alpha (1 - \cos^4 \beta) - \sin^2 2\beta],$$

$$\begin{aligned}
 a_2 &= \frac{1}{2} \cos 2\alpha \cos 2\beta, \\
 a_3 &= \left(1 - \frac{1}{4} \sin^2 2\alpha\right) \sin^4 \beta + \cos^2 2\alpha \cos^2 \beta, \\
 b_1 &= \frac{1}{8} \sin \beta \sin 2\beta \sin 4\alpha, \\
 b_2 &= \frac{1}{4} \sin 2\alpha \cos \beta (1 - 3 \cos^2 \beta), \\
 b_3 &= \sin^2 2\alpha \cos^2 \beta, \\
 c_1 &= -\frac{1}{4} \sin 4\alpha \cos \beta (1 + \cos^2 \beta), \\
 c_2 &= \frac{3}{4} \sin 2\alpha \cos \beta \sin^2 \beta,
 \end{aligned}
 \tag{П3.4}$$

а  $f_1$  введена в (32). Заметим, что

$$\begin{aligned}
 A_{1s} &= F_{2s}, \\
 B_{1s} &= F_{3s}.
 \end{aligned}
 \tag{П3.5}$$

Для расчёта термонаведённых искажений пучка в упругоанизотропном длинном стержне (см. (65)) также нужны коэффициенты

$$\begin{aligned}
 F_4 &= [-(1 - \xi_\pi) b_1 + \xi_d b_2] \tan \beta, \\
 F_5 &= -(1 - \xi_\pi) c_4 + \xi_d c_5, \\
 A_4 &= [-(1 - \xi_\pi) c_1 + \xi_d c_2] \tan \beta, \\
 A_5 &= (1 - \xi_\pi) c_3 - 3\xi_d c_5, \\
 B_4 &= -(1 - \xi_\pi) b_3 \tan \beta, \\
 B_5 &= 2[(1 - \xi_\pi) b_1 + \xi_d c_2] \cot \beta,
 \end{aligned}
 \tag{П3.6}$$

где

$$\begin{aligned}
 c_3 &= \frac{1}{4} [\sin^2 2\alpha (1 + \cos^2 \beta) \sin 2\beta - \sin 4\beta], \\
 c_4 &= \frac{1}{4} (\sin^2 2\alpha \sin^2 \beta \sin 2\beta + \sin 4\beta), \\
 c_5 &= \frac{\cos 2\alpha \sin 2\beta}{4}.
 \end{aligned}
 \tag{П3.7}$$

Отметим, что, несмотря на присутствие тангенса и котангенса, функции (П3.6) не имеют особенностей при  $\beta = i\pi/2$  (где  $i$  – целое) благодаря обращению в нуль соответствующих коэффициентов  $b_i$  и  $c_i$ .

1. Koechner W. *Solid-State Laser Engineering* (Berlin: Springer-Verlag, 1999).
2. Мезенов А.В., Сомс Л.Н., Степанов А.И. *Термооптика твердотельных лазеров* (Л.: Машиностроение, 1986).
3. Koechner W., Rice D.K. *IEEE J. Quantum Electron.*, **6**, 557 (1970).
4. Foster J.D., Osterink L.M. *J. Appl. Phys.*, **41**, 3656 (1970).
5. Най Д. *Физические свойства кристаллов и их описание при помощи тензоров и матриц* (М.: Иностранная литература, 1960).

6. Сиротин Ю.И., Шаскольская М.П. *Основы кристаллофизики* (М.: Наука, 1979).
7. Quelle F.W. *Appl. Opt.*, **5**, 633 (1966).
8. Snitzer E. *Proc. IEEE*, **54**, 1249 (1966).
9. Riedel E.P., Baldwin G.D. *J. Appl. Phys.*, **38**, 2720 (1967).
10. Ананьев Ю.А., Гришманова Н.И. *ЖЛС*, **12**, 668 (1970).
11. Митькин В.М., Щавелев О.С. *Опт.-мех. пром.*, **9**, 26 (1973).
12. Koechner W. *Appl. Opt.*, **9**, 2548 (1970).
13. Koechner W. *Appl. Opt.*, **9**, 1429 (1970).
14. Massey G.A. *Appl. Phys. Lett.*, **17**, 213 (1970).
15. Karr M.A. *Appl. Opt.*, **10**, 893 (1971).
16. Сомс Л.Н., Тарасов А.А. *Квантовая электроника*, **6**, 2546 (1979) [*Sov. J. Quantum Electron.*, **9**, 1506 (1979)].
17. Сомс Л.Н., Тарасов А.А., Шашкин В.В. *Квантовая электроника*, **7**, 619 (1980) [*Sov. J. Quantum Electron.*, **10**, 350 (1980)].
18. Joiner R.E., Marburger J., Steier W.H., in *Laser Induced Damage in Optical Materials* (Dept. of Commerce, National Bureau of Standards, 1977, pp 89–95).
19. Joiner R.E., Marburger J., Steier W.H. *Appl. Phys. Lett.*, **30**, 485 (1977).
20. Koechner W., Rice D.K. *J. Opt. Soc. Am.*, **61**, 758 (1971).
21. Khazanov E., Andreev N., Palashov O., Poteomkin A., Sergeev A., Mehl O., Reitze D. *Appl. Opt.*, **41**, 483 (2002).
22. Мухин И.Б., Палашов О.В., Хазанов Е.А., Иванов И.А. *Письма в ЖЭТФ*, **81**, 120 (2005) [*JETP Lett.*, **81**, 90 (2005)].
23. Shoji I., Taira T. *Appl. Phys. Lett.*, **80**, 3048 (2002).
24. Mukhin I.B., Palashov O.V., Khazanov E.A. *Opt. Express*, **17**, 5496 (2009).
25. Vyatkin A.G., Khazanov E.A. *J. Opt. Soc. Am. B*, **28**, 805 (2011).
26. Shoji I., Sato Y., Kurimura S., Lupei V., Taira T., Ikesue A., Yoshida K. *Opt. Lett.*, **27**, 234 (2002).
27. Khazanov E.A. *Opt. Lett.*, **27**, 716 (2002).
28. Каган М.А., Хазанов Е.А. *Квантовая электроника*, **33**, 876 (2003) [*Quantum Electron.*, **33**, 876 (2003)].
29. Kagan M.A., Khazanov E.A. *Appl. Opt.*, **43**, 6030 (2004).
30. Снетков И.Л., Мухин И.Б., Палашов О.В., Хазанов Е.А. *Квантовая электроника*, **37**, 633 (2007) [*Quantum Electron.*, **37**, 633 (2007)].
31. Soloviev A.A., Snetkov I.L., Zelenogorsky V.V., Kozhevato I.E., Palashov O.V., Khazanov E.A. *Opt. Express*, **16**, 21012 (2008).
32. Соловьев А.А., Снетков И.Л., Хазанов Е.А. *Квантовая электроника*, **39**, 302 (2009) [*Quantum Electron.*, **39**, 302 (2009)].
33. Vyatkin A.G. *IEEE J. Quantum Electron.*, **50**, 1061 (2014).
34. Vyatkin A.G., Khazanov E.A. *IEEE J. Quantum Electron.*, **51**, 1700108 (2015).
35. Vyatkin A.G., Khazanov E.A. *J. Opt. Soc. Am. B*, **32**, 1084 (2015).
36. Сиротин Ю.И. *Кристаллография*, **1**, 708 (1956).
37. Гречушников Б.Н., Бродовский Д. *Кристаллография*, **1**, 597 (1956).
38. Голяев Ю.Д., Евтохов К.Н., Капцов Л.Н. *Вестник Моск. ун-та*, **21**, 29 (1980).
39. Parfenov V., Shashkin V., Stepanov A. *Appl. Opt.*, **32**, 5243 (1993).
40. Yumashev K.V., Loiko P.A. *Opt. Commun.*, **333**, 175 (2014).
41. Yumashev K.V., Loiko P.A. *Laser Phys.*, **25**, 015003 (2015).
42. Алпатыев А.Н., Смирнов В.А., Щербаков И.А. *Квантовая электроника*, **39**, 1033 (2009) [*Quantum Electron.*, **39**, 1033 (2009)].
43. Алпатыев А.Н., Лис Д.А., Смирнов В.А., Щербаков И.А. *Квантовая электроника*, **40**, 604 (2010) [*Quantum Electron.*, **40**, 604 (2010)].
44. Алпатыев А.Н., Лис Д.А., Смирнов В.А., Щербаков И.А. *Квантовая электроника*, **40**, 752 (2010). [*Quantum Electron.*, **40**, 752 (2010)].
45. Вяткин А.Г., Хазанов Е.А. *Квантовая электроника*, **39**, 814 (2009) [*Quantum Electron.*, **39**, 814 (2009)].
46. Dement'ev A.S. *Laser Phys.*, **25**, 095004 (2015).
47. Brićkus D., Dement'ev A.S. *Lithuan. J. Phys.*, **56**, 9 (2016).
48. Хазанов Е.А. *УФН*, **186**, 975 (2016).
49. Тимошенко С.П., Гудыр Д. *Теория упругости* (М.: Наука, 1975).
50. Chenais S., Druon F., Forget S., Balembois F., Georges P. *Progr. Quantum Electron.*, **30**, 89 (2006).
51. Mukhin I.B., Palashov O.V., Snetkov I.L., Khazanov E.A. *Proc. SPIE*, **66100**, 66100N-1, (2007).
52. Nelson D.F., Lax M. *Phys. Rev. Lett.*, **24**, 379 (1970).

53. Nelson D.F., Lax M. *Phys. Rev. B*, **3**, 2778 (1971).
54. Nelson D.F., Lax M. *Phys. Rev. B*, **4**, 3779 (1971).
55. Kuznetsov I.I., Mukhin I.B., Silin D.E., Vyatkin A.G., Vadimova O.L., Palashov O.V. *IEEE J. Quantum Electron.*, **50**, 133 (2014).
56. Лехницкий С.Г. *Теория упругости анизотропного тела* (М.: Наука, 1977).
57. Turley J., Sines G. *J. Phys. D: Appl. Phys.*, **4**, 264 (1971).
58. Date E.H.F., Andrews K.W. *J. Phys. D: Appl. Phys.*, **2**, 1373 (1969).
59. Snetkov I.L., Vyatkin A.G., Palashov O.V., Khazanov E.A. *Opt. Express*, **20**, 13357 (2012).
60. Snetkov I.L., Yakovlev A.I., Palashov O.V. *Laser Phys. Lett.*, **12**, 095001 (2015).
61. Ho P.S., Ruoff A.L. *Phys. Rev.*, **161**, 864 (1967).
62. Crystran Ltd. Optical Materials, <http://www.crystran.co.uk/optical-materials>.
63. Jones R.C. *J. Opt. Soc. Am.*, **31**, 488 (1941).
64. Khazanov E., Andreev N.F., Mal'shakov A., Palashov O., Poteomkin A.K., Sergeev A., Shaykin A.A., Zelenogorsky V., Ivanov I.A., Amin R., Mueller G., Tanner D.B., Reitze D.H. *IEEE J. Quantum Electron.*, **40**, 1500 (2004).
65. Mironov E.A., Palashov O.V. *IEEE J. Quantum Electron.*, **53**, 1700208 (2017).
66. Vyatkin A.G., Snetkov I.L., Palashov O.V., Khazanov E.A. *Opt. Express*, **21**, 22338 (2013).
67. Cousins A.K. *IEEE J. Quantum Electron.*, **28**, 1057 (1992).
68. Chenais S., Balembois F., Druon F., Lucas-Leclin G., Georges P. *IEEE J. Quantum Electron.*, **40**, 1217 (2004).